



La Cansaladeta

Josep Maria Vergès i Andreu Ollé



Avis legal

Aquesta obra està subjecta a una llicència Reconeixement-NoComercial-SenseObresDerivades 2.5 de Creative Commons. Se'n permet la reproducció, distribució i comunicació pública sempre que se'n citi el titular dels drets i no se'n faci un ús comercial. No es pot alterar, modificar o generar una obra derivada a partir d'aquesta obra. La llicència completa es pot consultar a <http://creativecommons.org/licenses/by-nc-sa/2.5es/legalcode.ca>.

Memòria d'excavació programada

La Cansaladeta

(La Riba, Alt Camp)

realitzada entre els dies 8 i 26 de maig de 2006

Direcció de l'excavació:

Josep Maria Vergès Bosch

Andreu Ollé Cañellas

Tarragona, juny de 2006

Elaboració de la memòria:

M^a del Lluç Bennàsar, Isabel Cáceres, Thanon Chitkament, Marta Fontanals, Joana Gabucio, Ana Belén García, Paola García, Manjil Hazarika, Lucía López-Polín, Marina Lozano, Patricia Martín, Davinia Moreno, Marina Mosquera, Andreu Ollé, Xosé Pedro Rodríguez, Núria Setó i Josep Maria Vergès

Participació a l'excavació:

M^a del Lluç Bennàsar, Thanon Chitkament, Marta Fontanals, Joana Gabucio, Ana Belén García, Paola García, Manjil Hazarika, Lucía López-Polín, Patricia Martín, Davinia Moreno, Marina Mosquera, Andreu Ollé, Xosé Pedro Rodríguez, Núria Setó i Josep Maria Vergès

FITXA TÈCNICA GENERAL

Nom del jaciment: La Cansaladeta

Terme municipal: La Riba

Comarca: Alt Camp

Coordenades UTM: X=348.050 / Y= 4.575.380

Altitud: 265 metres s.n.m.

Accès: Es troba al peu de la carretera C-240

Context: En uns bancals de conreu abandonats, en el tall de la carretera C-240 al seu pas per l'estret de la Riba.

Tipus de jaciment: Abric calcari amb una successió sedimentària al·luvial i col·luvial que conté diversos nivells arqueològics.

Cronologia: Plistocè mitjà

Direcció: Josep M. Vergès Bosch, Andreu Ollé Cañellas

Intervenció: Del 8 al 26 de maig de 2006

Estat de conservació: Mitjà, exposat als efectes de l'erosió.

Protecció: Geotextil cobert amb sediment a la zona intervinguda

Sigles del material recuperat: CAN06 + Nivell + quadricula + núm. objecte

Propietari dels terrenys: Família Muller

Promotor: Universitat Rovira i Virgili

Finançament: Generalitat de Catalunya i Universitat Rovira i Virgili

Materials: En dipòsit dels directors de l'excavació a l'Àrea de Prehistòria de la Universitat Rovira i Virgili.

1 INTRODUCCIÓ

pàgina 4

2 LOCALITZACIÓ DEL JACIMENT

pàgina 7

3 CONTEXT GEOLÒGIC

pàgina 8

4 HISTÒRIA DE LES INTERVENCIIONS

pàgina 9

5 MOTIVACIÓ I OBJECTIUS DE LA INTERVENCIÓ

pàgina 11

6 METODOLOGIA

pàgina 12

7 ESTRATIGRAFIA

pàgina 13

8 CONCLUSIONS

pàgina 20

A1

ANNEX 1: DIARI DE CAMP

pàgina 22

A2

ANNEX 2: INVENTARI GENERAL

pàgina 33

A3

ANNEX 3: ESTUDI DELS MATERIALS

pàgina 53

A4

ANNEX 4: FOTOGRAFIES DELS MATERIALS

pàgina 61

A5

ANNEX 5: PLANIMETRIA I PLANTES

pàgina 65

A6

ANNEX 6: RECULL DE PREMSA

pàgina 68

9

BIBLIOGRAFIA

pàgina 74

Introducció 1

Entre els dies 8 i 26 de maig va ser realitzada la sisena campanya d'excavacions al jaciment paleolític de La Cansaladeta (La Riba, Alt Camp). Un equip format per investigadors i estudiants del Master en Quaternari i Prehistòria de la Universitat Rovira i Virgili va intervenir en cinc nivells arqueològics que corresponen al Plistocè mitjà. Concretament van ser excavats els nivells D, J, K, L i M, que van proporcionar eines lítiques i restes òssies. Aquest fet converteix La Cansaladeta en un dels pocs jaciments de Paleolític inferior dels Nord-est de la Península Ibèrica amb indústria lítica i fauna en context estratigràfic.

Les sis campanyes arqueològiques portades a terme fins al moment actual han permès registrar més de 6000 ítems, la majoria artefactes lítics (n=5196). Les perspectives de futur d'aquest jaciment són molt interessants, ja que hem identificat onze nivells arqueològics, que encara no han estat excavats en tota la seva extensió.

D'altra banda, l'obtenció de datacions radiomètriques en un futur pròxim facilitarà la contextualització del registre arqueològic de la Cansaladeta en el marc del Plistocè mitjà a Catalunya i la Península Ibèrica.

Localització del jaciment 2

El jaciment de la Cansaladeta està situat al terme municipal de la Riba (Alt Camp), a la riba esquerra del riu Francolí al seu pas per l'estret de la Riba, dins la zona coneguda com a Coster de la Cansaladeta. Els nivells arqueològics es localitzen a la part superior d'una terrassa fluvial seccionada per les obres d'ampliació de la carretera C-240. Més concretament, el dipòsit sedimentari que conté els materials arqueològics es troba situat al peu d'un antic abríc, avui en dia totalment desmantellat, a una alçada de 265 metres s.n.m., i de 50 metres sobre el llit actual del riu Francolí. Les seves coordenades UTM són X: 348.075 Y: 4.575.380.

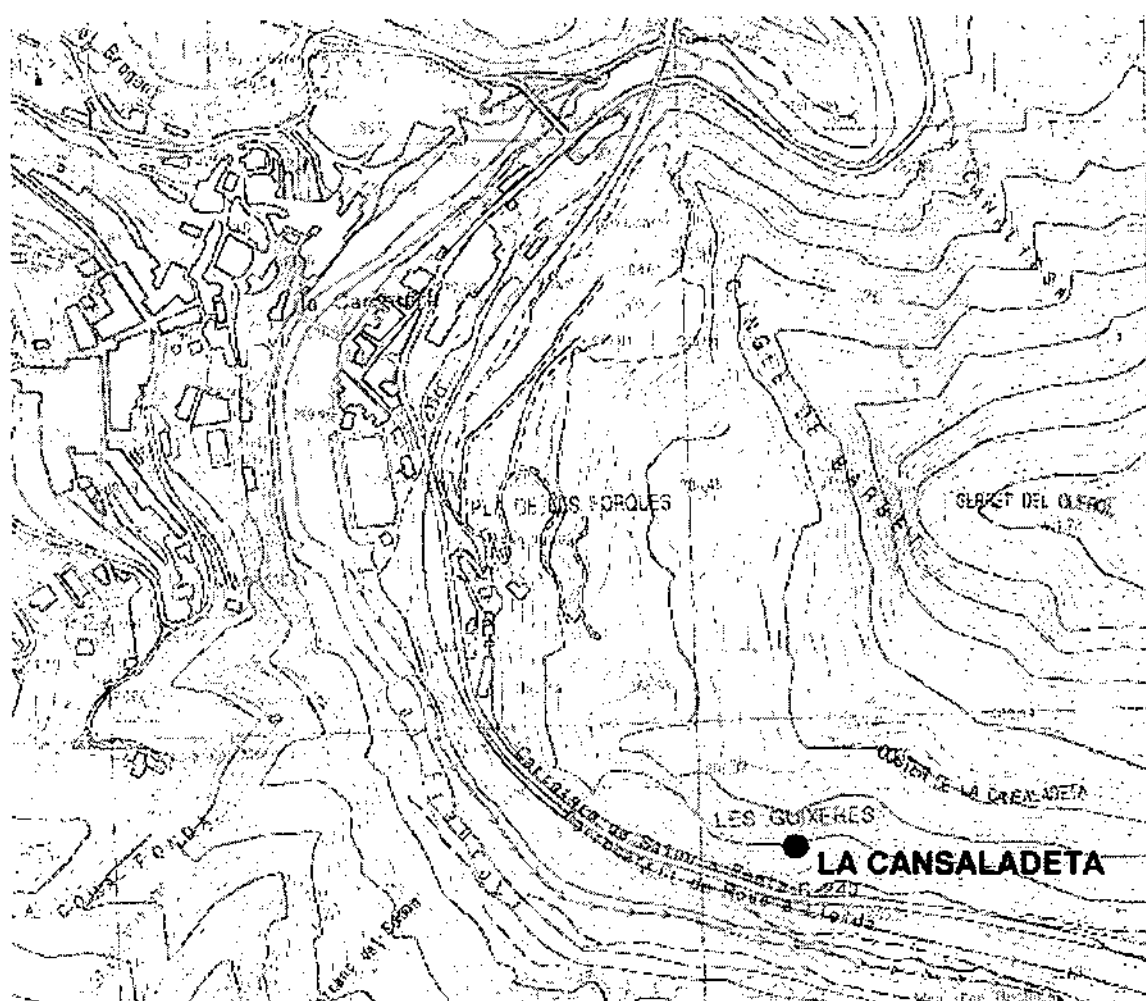


Figura 1. Situació del jaciment de la Cansaladeta. Extret del mapa topogràfic de Catalunya 1:5.000. Full 446-1-1. La Riba

Context geològic 3

Des d'una perspectiva geològica, l'Estret de la Riba es troba a la Serralada Prelitoral, unitat estructural que forma part del sistema de les Catalànides. Aquest massís, aproximadament paral·lel a la línia de costa, constitueix un bloc tectònic aixecat que divideix dues depressions tectòniques, la Conca de Barberà cap al N i el Camp de Tarragona cap al S. L'Estret de la Riba, que talla aquesta serra muntanyosa i separa el Massís de Prades de la Serra de Miramar, permet les comunicacions entre la Depressió Central Catalana i la franja costanera.

L'esquelet geològic de la Serralada prelitoral està format per formacions rocoses del Paleozoic i del Mesozoic, majoritàriament d'origen sedimentari. A la zona de l'Estret de la Riba afloren unitats sedimentàries del Triàsic (245-208 milions d'anys), formades per gresos i microconglomerats vermel·losos (unitat esmentada com Bundsantstein) i per calcàries ben estratificades i guixos (cfr. Muschelkalk). Totes aquestes unitats cabussen irregularment cap al nord, i estan caracteritzades per diversos accidents estructurals com falles i plecs. L'alternança entre litologies amb diferent grau de resistència a l'erosió causa la formació del perfil esglaonat, que és un dels trets més destacats de la morfologia de la vall. Probablement aquesta vall està alineada amb una falla.

Pel que fa les formacions quaternàries, a l'Estret es troba una panòpia de sediments de gènesi diferencial. Els sediments fluvials estan ben representats per la presència d'uns quants nivells de terrasses fluvials amb diferent grau de conservació, on afloren graves i llims al·luvials. Els dipòsits de vessant estan formats per col·luvions i sediments de peu de mont que recobreixen els flancs de la vall i que es poden correlacionar amb les mateixes terrasses al·luvials. La seqüència de les diverses terrasses i glacis ens permetrà reconstruir l'evolució morfodinàmica de la vall i les diferents etapes de rebliment i encaixonament del riu. El jaciment de la Cansaladeta es troba en la part estratigràficament més alta d'una terrassa al·luvial, localitzada aproximadament a 40-45 metres d'alçada sobre el llit actual del riu Francolí.

No es registren formacions de tova de tipus travertínic en la pròpia vall, però es desenvolupen a la vora esquerra del Francolí, a la sortida de l'Estret de La Riba. Els sols antics són poc desenvolupats, degut a l'elevada energia del relleu, que impedeix la conservació dels perfils edàfics.

Història de les intervencions 4

Fins al moment de la seva descoberta, realitzada de forma casual l'octubre de 1998 per part de membres de l'equip de l'Àrea de Prehistòria de la Universitat Rovira i Virgili, no es tenia notícia de l'existència del jaciment de la Cansaladeta. Tot i que el seu dipòsit sedimentari es va veure afectat per les obres d'ampliació realitzades la carretera C-240 a inicis dels anys 80, amb la destrucció d'una part significativa del jaciment, la manca d'un seguiment arqueològic dels treballs impedi que en aquell moment es portés a terme la localització i documentació del jaciment.

El juny de 1999 es va realitzar una excavació d'urgència encaminada a intervenir en la zona sud-est del jaciment (est teòric), el sector més afectat per l'erosió, per tal d'evitar-ne la pèrdua, elaborar una seqüència del jaciment i valorar la viabilitat de futures campanyes d'excavació. El jaciment i els primers resultats es presentaren al cicle Tribuna d'Arqueologia 2000 (Angelucci et al. 2003). L'octubre de 2002 es va realitzar una excavació programada, que va afectar tota l'àrea intervinguda el 1999, i que comportà una petita ampliació cap al sud (veure planimetria a la memòria presentada al Servei d'Arqueologia el febrer de 2003). El maig de 2003 es va intervenir sobre l'àrea amplificada al 2002 (quadres K25 i K26 fundamentalment).

La campanya d'excavacions arqueològiques de 2004 va permetre ampliar el registre disponible del nivell K i recuperar un nombre de restes del nivell L suficientment significatiu com per esbossar-ne els seus principals trets. Al nivell K es va documentar una important acumulació de restes lítiques indicatives de la presència d'una zona de producció d'instruments. Per la seva banda, el nivell L no va mostrar diferències a nivell tecnològic respecte el nivell K, però el registre lític va ser quantitativament inferior. El registre faunístic del nivell K va mantenir les característiques observades en anteriors campanyes. En canvi, les restes recuperades al nivell L aportaren noves dades força rellevants. La troballa d'un molar d'*hystrix* pertanyent, molt probablement, a una espècie extingida durant les primeres fases del pleistocè mitjà apunta la possibilitat, de confirmar-se aquesta dada, que els nivells basals de la Cansaladeta tinguin una antiguitat sensiblement superior a l'estimada fins ara en base a la seva situació dins el sistema de terrasses al·luvials. Durant la campanya de 2004 es van agafar mostres per tal de realitzar datacions absolutes pel mètode de la Resonància Paramagnètica Electrònica (RPE).

Durant la campanya de 2005 es va continuar l'excavació dels nivells de base (I, J, i L) als quadres K25, K26, J25 i J26, i es va reprendre l'excavació del nivell D als quadres L22, L23, L24, L25, M22, M23, M24 i M25. El jaciment continuà aportant abundant registre lític en tots els nivells, disposant-se ja en molts dels nivells de conjunts numèricament representatius, i algunes restes òssies als nivells inferiors, tot i que aquestes no permeteren ampliar la llista d'espècies identificades.

Durant els darrers anys han aparegut les primeres publicacions sobre la Cansaladeta. L'equip que intervé en el jaciment ha intentat donar a conèixer a la comunitat científica les primeres dades extretes de l'anàlisi dels materials arqueològics recuperats a la Cansaladeta. La primera publicació específica sobre aquest jaciment va aparèixer l'any 2003, a *Tribuna d'Arqueologia* (Angelucci et al. 2003). A continuació, l'any 2004, van ser publicats tres articles de síntesi (Ollé et al. 2004; Angelucci et al. 2004a, 2004b), entre els quals destaca el de la revista *Cypselà*, que posa al dia les dades més rellevants de les ocupacions antropològiques de la Cansaladeta.

Motivació i objectius 5

L'elevat potencial arqueològic del jaciment de la Cansaladeta que posà de manifest l'excavació d'urgència realitzada el 1999 portà a incloure aquest jaciment entre els d'excavació programada en el marc del projecte de recerca Evolució paleoambiental i poblament prehistòric a les conques dels rius Francolí i Gaià, que porta a terme l'Àrea de Prehistòria de la Universitat Rovira i Virgili. Els resultats de les campanyes d'excavació anuals que s'hi porten a terme des de l'any 2002 estan situant el jaciment de la Cansaladeta entre els més importants de la Península Ibèrica per l'estudi de les comunitats humanes del Plistocè mitjà.

Durant la campanya de 2006 estava previst continuar els treballs en la zona sud-est (est teòric) del jaciment, on s'ha estat excavant des de l'inici de les intervencions arqueològiques. D'una banda es pretenia continuar l'excavació del nivell D als quadres M22, M23 i M24 amb l'objectiu de finalitzar-lo i deixar tota la superfície d'excavació de la part alta a sostre del nivell E. D'aquesta manera durant la campanya de 2007 es podria iniciar simultàniament l'excavació del nivell E a tots els quadres d'aquesta zona. D'altra banda estava previst intervenir el nivell M als quadres K25, J25 i J26, i els nivells J i K a K26, per continuar augmentant la mostra de material arqueològic procedent dels nivells inferiors del jaciment. Amb això es pretenia també deixar a la vista una secció contínua NW-SE (E-W teòric, entre les línies K i L).

Metodologia 6

La intervenció arqueològica s'ha portat a terme entre els dies 8 i 26 de maig de 2006, per part d'un equip de l'Àrea de Prehistòria de la URV, sota la direcció tècnica d'Andreu Ollé Cañellas i Josep Maria Vergès Bosch.

La quadrícula i el punt zero utilitzats foren els mateixos que les campanyes anteriors. Durant l'excavació s'han recollit tots els materials susceptibles de formar part del registre arqueològic. Tots els elements recollits han estat coordinats tridimensionalment i disposen d'una numeració individual i consecutiva amb els de 1999, 2002, 2003, 2004 i 2005 que permet identificar-los.

Sempre que s'ha cregut convenient s'ha documentat gràficament (fotografia i dibuix) el material arqueològic i les associacions identificades in situ, i s'ha documentat fotogràficament el procés d'excavació. Així mateix, s'ha portat a terme l'aixecament topogràfic del jaciment .

La totalitat del sediment excavat ha estat recollit, anotant la seva procedència (nivell, quadre i cota), i garbellat amb aigua amb una columna de garbells amb malla de 5mm a 1 mm per tal de recuperar les restes de petites dimensions, especialment de microvertebrats.

Estratigrafia 7

La reconstrucció de la estratigrafia de la Cansaladeta està feta a partir la descripció de seccions i perfils abans i durant els treballs d'excavació. En aquest apartat, no hi ha cap modificació respecte la informació presentada a la memòria de la campanya de 2002. Cada secció està individualitzada per la lletra X; les seccions descrites són:

X1: secció del tall amb nivells arqueològics, orientada E-W (paral·lela a la paret), aixecada el 1998

X2: secció orientada N-S (perpendicular a la paret), que talla el marge X3 perfil principal de la seqüència (jaciment-carretera)

X4: secció superior de l'excavació 1999 (quadricules M-22, M-23, M-24, M-25)

X5: secció inferior de l'excavació 1999 (quadricules L-23 i L-24)

Les unitats individualitzades s'indiquen amb la lletra H.

La seqüència del jaciment està organitzada en quatre conjunts principals:

1: RM rebliments del marge

2: DV dipòsits de vessant

3: CA conjunt arqueològic

1.- Conjunt RM

Aquest conjunt es relaciona amb la construcció del marge que es troba paral·lel a la paret de l'abric. Es tracta d'uns rebliments amb caràcters mixtos, d'origen antròpic, on s'ha desenvolupat un perfil de sòl AC. En la secció X2, transversal a la paret, s'han reconegut 6 unitats:

X2-H1 A Franco llimós amb pedres comunes (frr. s/ang. i s/arr. heteromètrics - mida màxima 3 cm), 7.5YR4/3, estructura granular fina moderadament desenvolupada, dèbil, matèria orgànica comuna, activitat biològica intensa, límit inf. clar.

X2-H2 bAp Franco llimós amb pedres comunes (frr. s/ang. i s/arr. heteromètrics - mida màxima 3 cm), 7.5YR4/4, estructura granular fina dèbilment desenvolupada, dèbil, matèria orgànica escassa, activitat biològica intensa, límit inf. clar.

X2-H3 -- Franco llimós arenós amb pedres freqüents (frr. s/ang. i s/arr. heteromètrics, frr. s/arr. i arr. del sediment de les unitats arqueològiques carbonatades fins 4 cm de

grandària), 7.5YR4/6, massiu, dèbil, matèria orgànica molt escassa, bioturbació intensa amb canals reblerts, límit. inf. net.

X2-H4 -- Franco llimós arenós, amb pedres comunes (frr. s/ang. i s/arr. heteromètrics, frr. s/arr. i arr. del sediment de les unitats arqueològiques carbonatades fins 4 cm de grandària, frr. ang. de calcària local amb grandària màxima de 8 cm), 7.5YR4/6, massiu, dèbil, bioturbació intensa amb canals reblerts, límit inf. clar.

X2-H5 -- Lent còncava formada per carbons, microcarbons fortament fragmentats i frr. s/arr. de calcària local ennegrits per impacte tèrmic, solta, 7.5YR3/2, límit inf. net.

X2-H6 C Caràcters com 4, límit inf. clar a la unitat 7 del conjunt DV.

Les unitats 1 i 2 són els horitzons A i AC del perfil de sòl que s'ha desenvolupat a la superfície superior del marge abans per l'activitat agrícola i ara per l'acumulació i la incorporació de matèria orgànica. La unitat 3 representa el rebliment de la part més externa del marge, relacionada amb el mur. Les unitats 4 i 6 formen el rebliment sencer del marge, que procedeix de l'erosió antròpica dels sediments tant antròpics (conjunt CA) com naturals (conjunt DV). La unitat 4 és un nivell d'incendi durant (o poc després) de la construcció del marge.

2.- Conjunt DV

El conjunt DV aflora per sobre dels conjunts CA i AL, amb els quals té un límit erosiu; s'observa a la part superior del tall principal i a la secció X2, on s'han aixecat les següents unitats:

X2-H7 2A Franco llimós arenós amb pedres comunes (com X2-H6 + petits frr. de roques cristal·lines al·lòctones meteoritzades, molt escasses), 7.5YR4/4, estructura granular fina dèbilment desenvolupada, dèbil, matèria orgànica escassa, bioturbació intensa, límit inf. clar.

X2-H8 3Bt (2C) Franco llimós arenós amb pedres comunes (frr. ang. i s/ang. heteromètrics de calcària local, grandària màxima 10 cm, OP paral·lel al límit inferior o amb lleugera inclinació vers la paret), 5YR5/6, estructura polièdrica s/ang. fina molt dèbilment desenvolupada, fort, dèbil enriquiment de CaCO₃ a la matriu i nòduls poc impregnats de CaCO₃ comuns de 2-4 mm, límit inf.

X2-H9 3Btg Bretxa formada per pedres com a H8 (però amb OP només paral·lel al límit inferior) i amb frr. de roques cristal·lines al·lòctones meteoritzades, escasses (pet-

its còdols o fragments de còdols), amb matriu franco limosa arenosa, estructura com H8, 5YR4/6 que reomple tots els buits entre les pedres. Enriquiment de CaCO₃ com H8, nòduls molt petits (inframil·limètrics) de Fe-Mn Ox escassos. Límit inferior de difícil definició, clar.

El límit entre H6 (conjunt RM) i H7 és erosiu; H7 representa un dèbil horitzó A que després s'ha format contextualment amb aquest límit i a partir d'una roca mare amb caràcters semblants als de H8. Les unitats H8 i H9 són dipòsits de vessant (peu de mont) que procedeixen de l'erosió de materials semblants, però que s'han sedimentat amb mecanismes diferents. Els materials d'aquestes unitats estan formats principalment per fragments caiguts de la paret, amb un petit percentatge de material al·lòcton, la procedència del qual és incerta, probablement una terrassa més antiga que es trobava més amunt. La unitat H8 deriva d'una deposició per un moviment de massa, mentre que H9 representa una clapissa a la base de la paret. H9 es disposa per sobre d'un límit erosiu que talla el conjunt CA. Aquest límit no es reconeix pels processos edafogenètics que han modificat H8 i H9 després de la seva deposició. S'individuen dues fases d'edafogènesi: la primera, probablement molt antiga, està representada per la rubefacció del perfil amb formació d'un horitzó Bt; la segona, relacionada amb la superfície H6-H7, és poc desenvolupada, amb formació d'un horitzó A (H7) i enriquiment de carbonats (potser aquest últim procés és més antic que la formació de H7, aspecte que s'haurà de verificar).

3.- Conjunt CA

El conjunt arqueològic s'organitza en diverses unitats que es poden agrupar en alguns subconjunts amb diferent origen.

3a Sub-conjunt CA1

X4-H3 Bt Franc argilós amb pedres comuns (fragments pluricentimètrics de calcària amb diferents graus d'arrodoniment i en alguns casos amb patina de meteorització), color 5YR4/4, polièdric subangulós fi moderadament desenvolupat amb agregats molt adhesius, porositat escassa (buits plans tancats i alguns canals prop de la secció), ferm, moderadament cimentat per carbonat de calci, límit inferior clar lineal.

X4-H4 Btk Com X4-H3, però amb fragments de calcària subarrodonits freqüents i nòduls centimètrics de carbonat comuns, color 5YR4/6, límit inferior clar lineal.

X4-H5 Btc Com X4-H3, però argilós franc i amb concentracions molt petites de Fe-Mn disperses en la matriu, límit inferior clar lineal.

X4-H6 Btk2 Com X4-H5, però amb carbonatació moderada, color 5YR4/6, límit inferior clar ondulat

X4-H7 Btk3 Com X4-H5, però amb carbonatació forta (nòduls carbonàtics pluricentimètrics amb forma subesfèrica i botrioïdal freqüents) i pedres calcàries decimètriques amb orientació subhoritzontal, color 5YR4/6, límit inferior clar linear.

X4-H8 Btk4 Com X4-H6, límit inferior clar ondulat.

X4-H9 Btc2 Com X4-H5, però amb carbonatació discreta, color 5YR4/5, límit inferior net linear.

X4-H10 Bt2 Franc argilós, color 5YR4/5, polièdric subangulòs fi feblement desenvolupat, porositat escassa, ferm, feblement cimentat per carbonat de calci, límit inferior no observat.

Aquest subconjunt està format per una potent seqüència d'origen edafogènica que ha provocat la formació d'un horitzó Bt que es pot subdividir en els horitzons anteriorment descrits. Les variacions observades es deuen a la variabilitat vertical dels processos edafogènics i a la presència de discontinuïtats sedimentològiques a la successió. Aquestes discontinuïtats es poden reconèixer per la presència de stone lines i nivells arqueològics. Concretament, el límit entre X4 H4 i H5 correspon al nivell arqueològic A, X4 H7 correspon al nivell arqueològic B mentre que el nivell arqueològic C es localitza al límit X4 H8 i H9.

Els dipòsits dels quals prové el sòl estan formats versemblantment per materials de vessant de tipus col·luvial i d'aportacions de la paret de l'abric.

El subconjunt CA1 testimonia una llarga i intensa fase d'estabilitat geomorfològica d'aquest indret, amb acció d'edafogènesi relacionada amb processos de rubefacció i translocació de carbonats, possiblement dins d'una situació ambiental de tipus mediterrani. Aquesta fase de formació de sòl tanca tota la successió de la Cansaladeta.

A la part sud de la secció X4 l'horitzó H14, amb intensa carbonatació, substitueix la seqüència H3-H10, que es troba a la part nord.

3b Sub-conjunt CA2

X5-H1 BCK Franc llimós arenós amb escasses pedres de calcària petites (màxim 4 cm.)

i anguloses, color 7.5YR6/5, massiu, ferm, discretament triat, discretament compactat, moderadament cimentat per carbonat de calci amb zones irregulars fortament cimentades, límit inferior net linear.

X5-H2 -- Stone line discontinua formada per pedres calcàries anguloses petites i peces lítiques, horitzontals.

X5-H3 BCK2 Arena (fina i molt fina, poligènica, amb grànuls principalment angulosos) llimosa amb escasses pedres de calcària petites (màxim 4 cm.) i anguloses, color 6.5YR6/5, discretament triat, fortament compactat, carbonatació com X5-H1 i límit inferior net linear.

X5-H4 -- Stone line poc continua formada per pedres calcàries anguloses fina a 10 cm. i peces lítiques horitzontals.

Es tracta d'un subconjunt de transició entre la situació principalment al·luvial de CA3 i la de vessant de CA1. L'impacte dels processos edafogènics observats en CA1 és menys fort i es desenvolupa amb una carbonatació intensa que talla en discordància les interfícies sedimentològiques i arqueològiques.

3c Sub-conjunt CA3

X5-H5 C1 Com X5-H3, però amb arena (fina i molt fina, poligènica, amb alguns elements subarrodonits) feblement llimosa, amb pedres escasses, laminacions obliqües paral·leles, de baix angle, entrecreuades, amb presència de petits canals erosius que poden tallar la unitat subjacent, límit inferior net linear.

X5-H6 -- Com X5-H4.

X5-H7 C2 Com X5-H5 (inclosa la laminació), límit inferior net linear.

X5-H8 -- Stone line continua, formada per arena molt grossa i graves fines i molt fines amb grànuls subangulosos i angulosos de calcària local; les pedres tabulars i les peces lítiques es troben en posició subhoritzontal.

El subconjunt està format per dipòsits versemblantment al·luvials de baixa energia procedents d'inundacions laterals del riu Francolí, amb interrupcions periòdiques de l'activitat deposicional. Representa la unitat d'origen al·luvial més alta de la successió, i està poc afectada per l'edafogènesi.

3d Sub-conjunt CA4

X5-H9 C3 Franc llimós argilós, color 4YR4/5, polièdric angulós fi molt feblement desenvolupat, porositat escassa, poc ferm, amb intercalacions de làmines mil·limètriques de sorra fina i mitjana, paral·leles i inclinades d'angle baix, límit inferior clar lineal.

Possible dipòsit d'origen col·luvial que retreballa el sòl subjacent de CA5.

3e Sub-conjunt CA5

X5-H10 2Bt Franc llimós argilós amb pedres calcàries escasses, heteromètriques (fins a 10 cm, mitjana entre 1-2 cm), anguloses, horitzontals les tabulars (hi ha gelifractes, els fragments més petits estan feblement meteoritzats i fragmentats), color 4YR4/5, polièdric angulós fi moderadament desenvolupat, porositat escassa, poc ferm, febles acumulacions petites de Fe-Mn, molt carbonatat i moderadament cimentat, límit inferior gradual.

X5-H11 2BC Franc llimós argilós amb pedres calcàries comuns, organitzades en faixes sub-horitzontals escassament visibles, anguloses i subanguloses (en hi ha també de sub-arrodonides), heteromètriques (fins a 35 cm - hi ha fragments tabulars - aparentment gelifractes, fragments caiguts de la paret amb pàtina endolítica i una fracció de mida mil·limètrica subarrodonida i sub-angulosa - prop del límit inferior s'observa una acumulació de fragments calcaris tabulars decimètrics); color 4YR4/5, polièdric angulós fi moderadament desenvolupat amb gradient cap a baix (al límit inferior és massiu), porositat escassa, ferm, molt carbonatat i moderadament cimentat, límit inferior abrupte amb calcària patinada (probablement el substrat).

Perfil de sòl enterrat del qual s'ha conservat l'horitzó Bt rubefactat i l'horitzó BC, que s'han desenvolupat a partir d'un material sedimentari diferent de la calcària del substrat. Els caràcters de camp del paleosòl indiquen que s'ha desenvolupat en una situació ambiental de tipus mediterrani. El material d'origen d'aquest sòl conté elements de breixa crioclàstica procedents del sostre de l'abric, que indiquen l'existència d'un clima tendencialment fred i humit.

La Cansaladeta 1999-2002
Columna estratigràfica

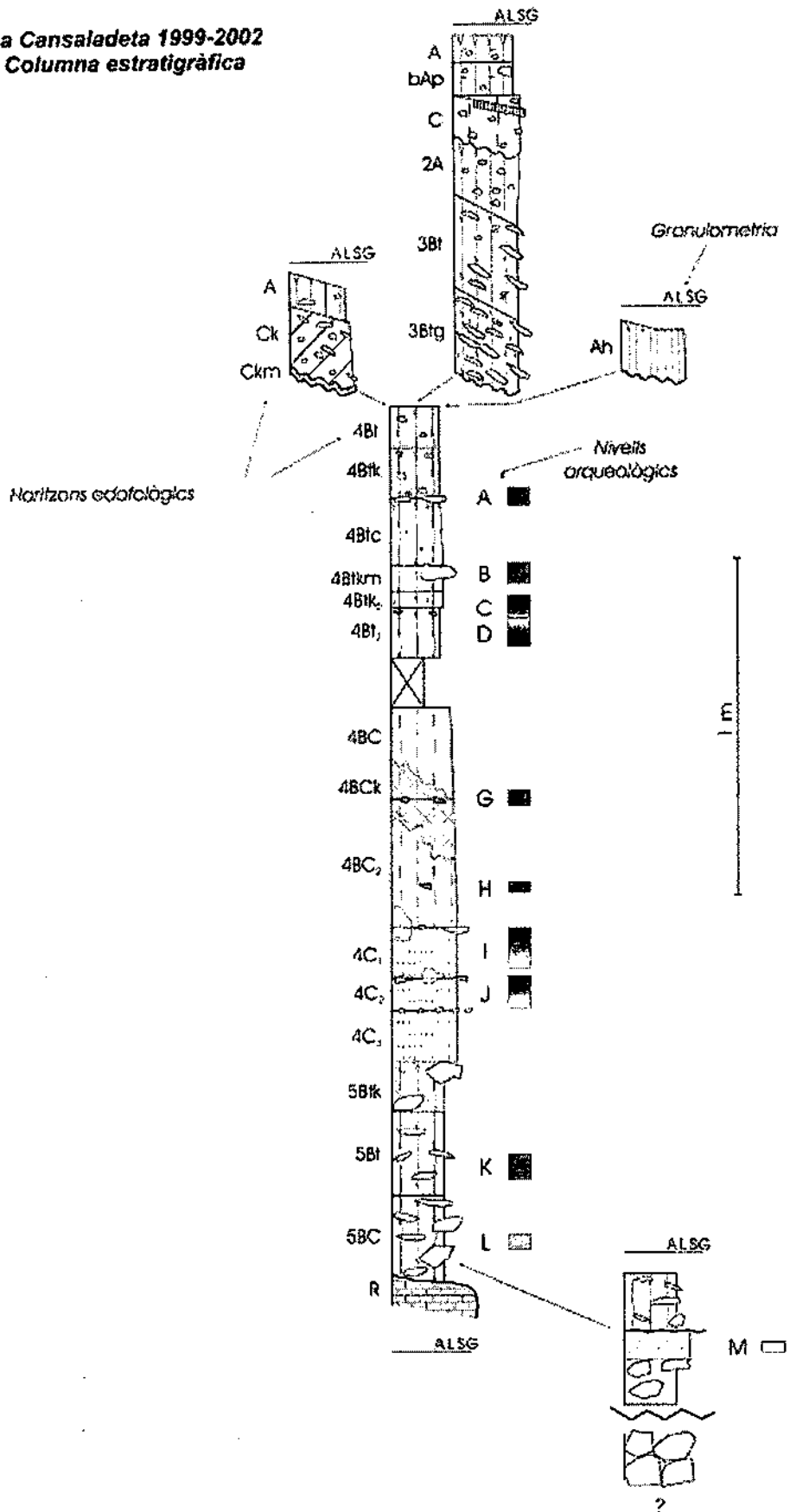


Figura 2. Columna estratigràfica de la Cansaladeta

La Cansaladeta, 2006

Conclusions 8

Durant la campanya d'excavacions arqueològiques de 2006 s'ha excavat el nivell D als quadres L22, L24, M22, M23, M24, el nivell L a K26 i J26, i el nivell M als quadres K25, J25 i J26, i els nivells J i K a K26.

En termes generals, la representació i característiques del registre lític recuperat enguany no difereixen de les observades en campanyes anteriors si exceptuem l'aparició al nivell J d'objectes de format gran elaborats sobre corniana, entre els que cal destacar un pic sobre còdol i un fenedor sobre ascla. El jaciment continua proporcionant gran quantitat de restes d'indústria lítica, el conjunt de les quals s'acosta ja als 5.300 efectius. L'elevat nombre de restes lítiques recuperades, i el fet que la majoria dels nivells disposin de conjunts numèricament representatius, fa possible que els estudis encaminats a caracteritzar els conjunts litotècnics presents a la Cansaladeta, tant a nivell sincrònic com diacrònic, forneixin dades amb un grau alt de fiabilitat.

A nivell del registre faunístic les restes recuperades durant la present campanya no han aportat novetats pel que fa al nombre d'espècies identificades en anteriors intervencions. La major part de les restes òssies mostren alteracions tafonòmiques que dificulten la seva identificació, tant a nivell d'espècie, com de part esquelètica, i impossibiliten en la majoria dels casos els estudis d'arqueozoologia. L'estudi de l'alteració diferencial del registre ossi ha de permetre en un futur obtenir dades sobre els processos diagenètics que han actuat sobre la successió estratigràfica.

Durant aquesta campanya els doctors Asunción Millán i Pedro Beneitez, del Laboratorio de Datación Radioquímica de la Universidad Autónoma de Madrid han visitat el jaciment per tal de mesurar la radiació del sediment, dada necessària per tal de calibrar els resultats obtinguts per Termoluminiscència d'una mostra de sílex cremat procedent del nivell D, que actualment estan processant.

Pel que fa també a les datacions, ens trobem encara a l'espera de rebre els resultats de les datacions pel mètode de la Ressonància Paramagnètica Electrònica (RPE), de les mostres dels nivells G i J, que s'estan portant a terme a l'Institut de Paléontologie Humaine de Paris. Esperem poder disposar en els propers mesos de dates absolutes que permetin acotar

el marc cronològic de les ocupacions, i donin més relleu en el panorama científic a les dades que està aportant el jaciment.

Annex 1: Diari de camp **A1**

Dia 8 de maig de 2006

Excavadors: *Thanon Chitkament, Joana Gabucio, Patricia Martín, Andreu Ollé, Xosé Pedro Rodríguez, Núria Setó i Josep Maria Vergès*

Es realitza el transport al jaciment de tot el material necessari durant la campanya d'excavació. Instal·lació de la plataforma de taulons de fusta suportats per barres metàl·liques que fa possible l'excavació al tram superior de la successió estratigràfica (línies de quadres L i M, nivell D).

Es porta a terme una neteja general del jaciment, i, específicament, de la superfície dels quadres a intervenir: L i M de 22 a 25 (nivell D), K26 (nivell J), J i K25, K26 (nivell M).

Dia 9 de maig de 2006

Excavadors: *Thanon Chitkament, Marta Fontanals, Joana Gabucio, Ana Belén García, Manjil Hazarika, Patricia Martín, Davinia Moreno, Andreu Ollé, Núria Setó i Josep Maria Vergès.*

S'inicia l'excavació. Al nivell D s'intervé als quadres de la línia de les M, del 22 al 24, que estan lleugerament més alts que el quadre M25 i que la línia de les L. En aquests darrers, s'observa un sediment clarament més arenós que al tram superior del nivell D.

A J i K 25 es troba exposat el sostre del nivell M, amb una capa continua de blocs calcaris, molts d'ells plaques, que es van coordinant i aixecant. Entre ells no surt pràcticament cap resta arqueològica.

Al quadre K26 s'excava el nivell J, del qual tenim només la franja més propera a la secció nord, és a dir, de Y entre 60 i 100. La resta del quadre es troba ja a la base del nivell L, i de moment no s'excava.

Al llarg de tota la campanya, l'excavació es porta a terme entre les 9 i les 15 hores, mentre que la revisió del material coordinat, la seva neteja i la introducció de la informació a la base de dades es realitza diàriament a la tarda.

La Cansaladeta, 2006



Figura 3: Inici de l'excavació de la campanya 2006 al jaciment de la Cansaladeta



Figura 4: Detall de l'inici de l'excavació al nivell D

Dies 10 i 11 de maig de 2006

Excavadors: *Thanon Chitkament, Joana Gabucio, Ana Belén García, Patricia Martín, Davinia Moreno, Andreu Ollé i Josep Maria Vergès.*

Es continua intervenint als mateixos quadres i nivells. Al nivell D apareix gran quantitat de material lític. Moltes peces, especialment de sílex i de corniana, apareixen alterades i fracturades, la qual cosa dificulta la seva recuperació.

Al nivell M (quadres J i K25) es continuen aixecant blocs calcaris en matriu argilosa, sense sorres. Continua sense aparèixer gairebé gens de material arqueològic (només algun petit fragment d'os). Al quadre J25, al voltant de la cota -1345, es documenten una sèrie de plaques calcàries disposades amb una pendent gairebé plana, que podrien marcar un canvi entre dos episodis de deposició a l'interior del nivell M.



Figura 5: Instrument configurat (BN1GC), en corniana, aparegut al nivell J (quadre K26)

Al nivell J (K26) apareixen moltes restes de talla, especialment de sílex. Ha aparegut també una gran BN1G de comiana, un gran instrument configurat, en un bon estat de conservació (Figura 5).

Dia 12 de maig de 2006

Excavadors: *Thanon Chitkament, Joana Gabucio, Ana Belén García, Patricia Martín, Davinia Moreno, Marina Mosquera, Andreu Ollé i Josep Maria Vergès.*

Es continua igual que en dies anteriors. L'única novetat és que al nivell J (K26) ha aparegut un segon gran instrument de corniana, en aquest cas amb una forta alteració (pèrdua de cohesió superficial del gra). Per aquesta raó, un cop neta la superfície i amb la peça encara in situ, s'ha aplicat una capa de consolidant (Paraloid B-72) per degoteig (Figura 6).



Figura 6: Consolidació per degoteig d'una peça de corniana

Dia 15 de maig de 2006

Excavadors: *Thanon Chitkament, Joana Gabucio, Ana Belén García, Paola García, Lucía López-Polín, Patricia Martín, Davinia Moreno i Andreu Ollé.*

Al nivell D es continua excavant sense novetats; es va recuperant força material lític, sense que, de moment, s'observi cap disminució de la concentració a mida que el sediment va presentant cada cop més sorres.

Al nivell M (J25) s'ha coordinat i aixecat un gran objecte de corniana. Tot i que està mitjanament alterat, i amb fractures modernes a la part que sobresortia vers la secció sud, sembla que es tracta d'una base natural (Figura 7).

Al nivell J (K26) continua apareixent molta indústria lítica. S'han coordinat algunes peces de format petit i mitjà. Entre elles, destaca un remuntatge entre dos objectes de quars; es tracta de dos fragments de base positiva, producte d'una fractura accidental de talla. A banda, va sortint també alguna resta òssia de petites dimensions.



Figura 7: Objecte de corniana, aparegut al nivell M (quadre J25)

La Cansaladeta, 2006

Tal i com s'havia observat en anteriors campanyes, l'excavació de les sorres que componen en nivell J es veu puntualment dificultada per la presència de nòduls fortament carbonatats, a l'interior dels quals, molt sovint, apareixen restes arqueològiques.

Dia 16 de maig de 2006

Excavadors: Lluc Benàssar, Thanon Chitkament, Joana Gabucio, Ana Belén García, Paola García, Patricia Martín, Davinia Moreno, Xosé Pedro Rodríguez, Andreu Ollé i Josep Maria Vergès.

Al nivell D es continua amb la mateixa dinàmica que en dies anteriors. Al quadre K26 es continua baixant el nivell J. Un cop posat totalment al descobert i tornat a consolidar, s'ha

aixecat el gran còdol tallat (BN1GC) de corniana aparegut el dia 12. Entre la resta de material coordinat, cal destacar un gran nucli de quars, així com algunes ascles de corniana que podrien correspondre al procés de talla d'alguns dels còdols de l'esmentat material recuperats en aquesta zona.

S'ha començat a excavar al quadre J26, on encara queda per aixecar la base del nivell L. Entre els nombrosos blocs, han aparegut alguns petits objectes de sílex, així com fragments d'os, diversos d'ells cremats.

S'han realitzat projeccions de tot el material recuperat a la línia de les K (franja Y>50) des de la primera campanya i fins a dia d'avui. La gràfica obtinguda ens permet observar la repartició del material per nivells i ens ajuda a identificar els seus límits.

A banda del treball al jaciment, avui s'ha instal·lat la taula de rentat, per tal de començar a garbellar amb aigua tot el sediment recollit durant l'excavació. S'han utilitzat dos garbells superposats, amb llums de malla de 4 i 1 mm.

Dia 17 de maig de 2006

Excavadors: Lluc Benàssar, Thanon Chitkament, Joana Gabucio, Ana Belén García, Paola García, Patricia Martín, Davinia Moreno, Andreu Ollé i Josep Maria Vergès.

Al nivell D continua sortint abundant material lític. Al quadre M22 s'ha aixecat un gran instrument de corniana, possiblement un nucli, amb una forta alteració de la superfície i fracturat en diversos fragments.

Al nivell J (K26) es continua aixecant material. Segons la projecció del material recuperat al llarg de les anteriors campanyes, ens trobem ja a prop de la base del nivell. El sediment és encara completament arenós, i segueix apareixent força material arqueològic, entre el qual destaca un nou gran objecte de corniana, en aquest cas un fenedor.

Dia 18 de maig de 2006

Excavadors: Lluc Benàssar, Thanon Chitkament, Joana Gabucio, Ana Belén García, Paola García, Patricia Martín, Davinia Moreno, Andreu Ollé, Núria Setó i Josep Maria Vergès.

Tota l'excavació continua amb la dinàmica de dies anteriors. Només cal destacar que

al quadre K26 s'ha arribat ja al tram de base del nivell J. Comença a aparèixer sediment mixt (sorres fluvials més argiles de vessant), la presència de petits clastos calcaris augmenta, i la concentració de material arqueològic decreix significativament.



Figura 8: Excavació d'un objecte de corniana al nivell J (quadre K26)

A la tarda, comptem amb la presència dels doctors Asunción Millán i Pedro Beneitez, del Laboratorio de Datación Radioquímica de la Universidad Autónoma de Madrid. La seva visita es deu a la necessitat de mesurar la radiació del sediment de la Cansaladeta, dada necessària per tal de calibrar els resultats que s'obtinguin per Termoluminiscència en la mostra de sílex cremat que se'ls va enviar (la sigla de la qual és: CAN99, Niv. D, L25, núm. 230) (Figura 9).



Figura 9: Medició de la radiació del sediment de la Cansaladeta, per tal d'obtenir datacions per Termoluminiscència en la mostra de sílex cremat

Dia 19 de maig de 2006

Excavadors: Thanon Chitkament, Joana Gabucio, Ana Belén García, Patricia Martín, Davinia Moreno, Xosé Pedro Rodríguez, Núria Setó i Josep Maria Vergès.

L'excavació continua sense novetats significatives.

Cal destacar la troballa fortuïta de restes d'indústria lítica en la part alta del tall deixat per la construcció de l'accés del marge esquerre del Francolí al pont del TAV. Des de la part baixa d'aquest accés, utilitzat per nosaltres com aparcament dels vehicles, s'ha observat la presència d'un objecte de sílex a la secció, el que ha motivat que ens acostéssim a observar la zona amb més detall. S'ha confirmat que l'objecte de sílex situat en secció és d'origen antròpic, i s'han localitzat, caiguts al peu de la part alta del tall dues peces més, una d'elles un petit bifacial. És probable que els dipòsits on apareixen aquests materials siguin els mateixos on es troba el jaciment de la Cansaladeta, el que indicaria que el jaciment arqueològic té continuïtat lateral fora de la zona de l'abric. Caldrà un estudi més aprofundit per contrastar aquesta hipòtesi.

Dia 22 de maig de 2006

Excavadors: Lluc Benàssar, Paola García, Andreu Ollé i Josep Maria Vergès.

S'excava únicament al quadre K26. En aquest, s'acaba el nivell J i s'entra al nivell K. Aquest darrer, tal i com s'havia observat en anteriors campanyes a les zones contigües, presenta una matriu més argilosa, amb molta menor quantitat de sorra i amb un clar augment del nombre de petits i mitjans clastos calcaris. A sostre del nivell hi ha un tram d'uns 5-8 cm de gruix que és pràcticament estèril arqueològicament, per sota del qual comença a aparèixer indústria lítica.

Avui hem rebut visita de diversos mitjans de comunicació. Concretament, ha vingut un fotògraf del diari El Periódico de Catalunya, que ha fet fotografies de l'excavació, i també una periodista de l'Agència Catalana de Notícies, que ens ha entrevistat i ha fet fotografies dels treballs al laboratori de camp. Hem parlat també amb periodistes del Diari de Tarragona, amb els quals hem acordat veure'ns un cop acabada la campanya, per tal de fer un comunicat sobre els resultats obtinguts.

Dia 23 de maig de 2006

Excavadors: *Paola García, Marina Mosquera, Andreu Ollé, Núria Setó i Josep Maria Vergès.*

Avui es reprèn l'excavació del nivell D. Donat que a la línia de les M s'ha baixat considerablement durant els darrers dies, es decideix tornar a intervenir als quadres L22 i L24. S'observa que en tota l'àrea on està excavant el nivell D s'està arribant al que sembla la base del nivell. En el sediment augmenten proporcionalment les sorres, però de moment no s'observen canvis significatius quant a concentració de material (únicament als quadres L i M 22 s'aprecia una certa disminució en la quantitat de material).

Al quadre K26 es continua excavant el nivell K, on va apareixent material, però sense grans concentracions. De moment no apareixen restes òssies (relativament abundants en altres punts excavats d'aquest nivell). Cal esmentar que entre el sediment mixt característic del nivell K (sorres i argiles) apareixen una mena de nòduls fortament carbonatats compostos quasi exclusivament per sorres. Sembla ser que durant l'entrada dels sediments que conformen el nivell J (sorres fluvials) es produí una certa erosió del sostre del K, quedant així una mena de forats o depressions reblerts per les sorres posteriors.

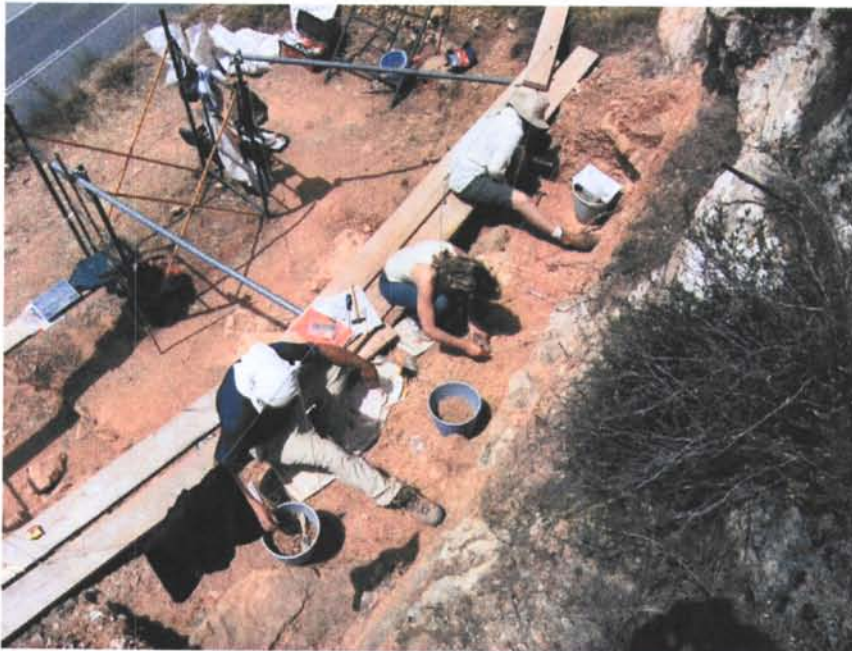


Figura 10: Excavació del nivell D

La Cansaladeta, 2006



Figura 11: Base Positiva (a l'esquerra) i Base Negativa de Segona Generació de Configuració (a la dreta), tallades amb sílex.

Dia 24 de maig de 2006

Excavadors: Paola García, Marina Mosquera, Andreu Ollé, Núria Setó i Josep Maria Vergès.

S'ha continuat excavant al nivell D. En tota l'àrea intervinguda continua sortint força material lític. Es dona per finalitzada la campanya amb la capa de sediment més arenós posada al descobert en tota la superfície, però amb cap més criteri clar per tal d'identificar cap canvi de nivell. Per tant, interpretem que som a prop de la base, però encara no es pot donar per acabat el nivell D.

Al quadre K26 s'ha acabat d'excavar el nivell K. A la seva base, s'ha coordinat una capa contínua de blocs (plaques) de calcària. Un cop aixecats aquests blocs, s'han fet fotografies del sostre del nivell L, que s'estén ja per tot el quadre, i s'ha començat a intervenir. Arribats a aquest punt, s'ha donat per finalitzada la intervenció també en aquest punt.

Dia 25 de maig de 2006

Excavadors: Lluc Benàssar i Josep Maria Vergès.

Avui s'ha treballat exclusivament a la taula de garbellat. S'ha aconseguit acabar de processar tot el sediment extret al llarg de la campanya.

Dia 26 de maig de 2006

Excavadors: *Paola García, Andreu Ollé i Josep Maria Vergès.*

Després de realitzar una neteja general del jaciment, s'ha procedit a fer fotografies generals i de detall de l'àrea intervinguda i s'han pres les cotes de final de campanya als quadres excavats.

A continuació, s'ha procedit a cobrir el jaciment mitjançant un teixit resistent i transpirable (Geotextil).

Es dona completament per finalitzada la campanya de 2006 al jaciment de la Cansaladeta.

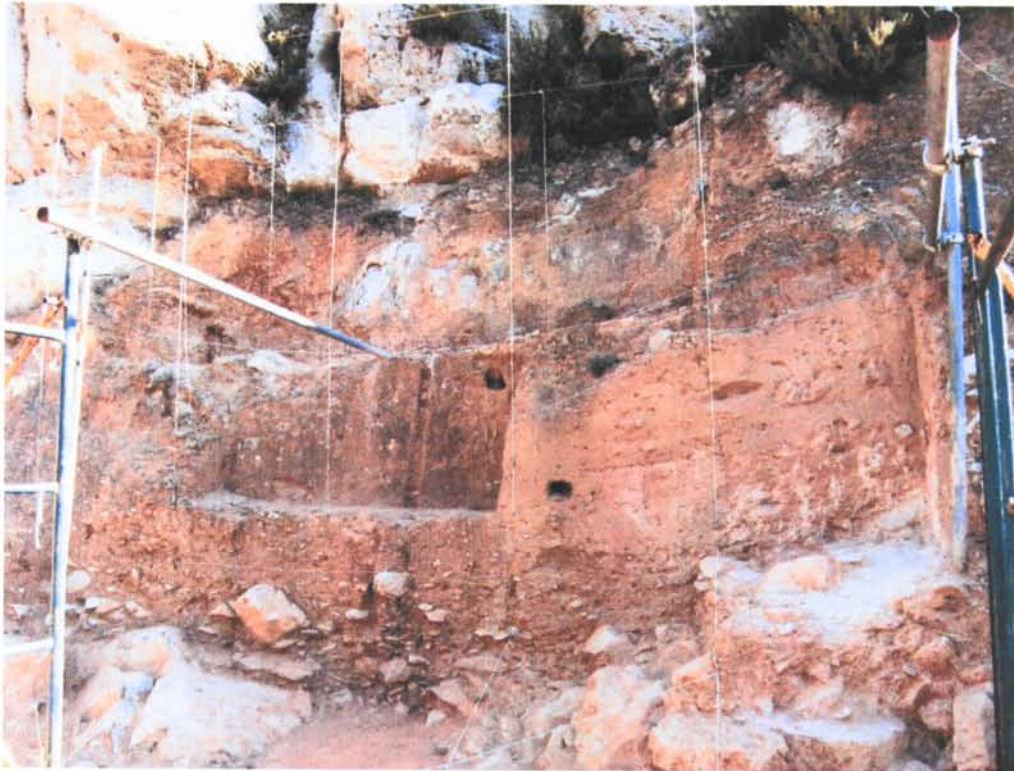


Figura 12: Vista general del jaciment, després de finalitzada la campanya d'excavació

La Cansaladeta, 2006



Figura 13: Vista de la zona Est del jaciment, després de la finalització de la campanya d'excavació



Figura 14: Vista superior de la superfície d'excavació, després de la finalització de la campanya de 2006. En primer terme la superfície excavada del nivell D.

Annex 2: Inventari general **A2**

A continuació presentem l'inventari general de tot el material arqueològic coordinat durant la campanya d'excavació de 2006. La numeració dels objectes és continuació de la de la campanya de l'any 2005. En total han estat inventariats 865 ítems, la majoria dels quals són artefactes lítics.

Abreviatures:

Niv= Nivell arqueològic

Qua= Quadre

Num= Número

Material= Tipus de material arqueològic

Categoria= Categoria estructural

Zsup= Profunditat cara superior de l'element (solament si es tracta d'objectes amb gruix destacable)

Zinf= Profunditat cara inferior de l'element

Orien= Orientació de la resta arqueològica en relació amb el nord teòric de l'excavació

Pen= Pendent de la resta arqueològica respecte el nord teòric de l'excavació

Llar=Llargària

Amp= Amplada

Gr= Gruix

Bn= Base natural

BN1GE= Base Negativa de 1^a Generació d'Explotació

BN1GC= Base Negativa de 1^a Generació de Configuració

BP= Base Positiva

BPF= Base Positiva fracturada

fBP= fragment de Base Positiva

BN2GC= Base Negativa de 2^a Generació de Configuració

Fragment

Indeterminat= peça indeterminable

T. petita= Talla petita (restes faunístiques)

T. mitjana= Talla mitjana (restes faunístiques)

T. gran= Talla gran (restes faunístiques)

Niv	Qua	Núm	Material	Categoria	Taxó	X	Y	ZSUP	ZINF	Orien	Pen	Llar	Amp	Gr	Observacions
D	L22	89	Quars	FBP		30	80		1152	ew	p	10	6	2	
D	L22	90	Sílex	FBP		64	93		1153			15	12	6	
D	L24	370	Sílex	BP		64	98		1154			9	5	1	
D	L24	371	Corniana	BPF		79	98		1152	nesw	vh	31	16	6	
D	L24	372	Quars	Fragment		81	97		1151			11	5	3	
D	L24	373	Sílex	Fragment		67	96		1155	q	wv	23	11	7	
D	M22	350	Sílex	Indeterminat		99	34		1140			18	10	4	
D	M22	351	Sílex	BP		90	32		1141	ns	sw	18	17	10	
D	M22	352	Quars	BP		91	17		1143	nesw	p	15	6	2	
D	M22	353	Sílex	BP		82	0		1145	nwse	p	8	6	1	
D	M22	354	Sílex	FBP		53	4		1144			6	3	2	
D	M22	355	Sílex	BP		36	13		1143	nwse	p	15	5	3	
D	M22	356	Sílex	BP		22	24		1142	ns	p	10	7	2	
D	M22	357	Sílex	BP		30	25		1142	ns	n	8	5	1	
D	M22	358	Sílex	BP		15	21		1141	ns	p	15	13	2	
D	M22	359	Sílex	BP		48	31	1141	1143	ew	w	46	30	19	
D	M22	360	Sílex	BP		65	29		1144	ew	s	11	7	1	
D	M22	361	Sílex	BP		69	24		1143	ns	se	16	8	4	
D	M22	362	Sílex	BP		74	21		1144			7	5	1	
D	M22	363	Gres	Indeterminat		67	18		1145			110	90		No recuperat
D	M22	364	Sílex	Indeterminat		11	39		1140	ns	e	45	22	11	
D	M22	365	Sílex	FBP		17	26		1140	ns	e	15	15	3	
D	M22	366	Sílex	BP		39	38		1143	nesw	se	12	10	1	
D	M22	367	Sílex	BP		38	17		1144	ns	p	10	8	3	
D	M22	368	Sílex	BP		52	22		1144	ns	e	15	11	1	
D	M22	369	Sílex	FBP		63	15		1145	ns	p	15	10	1	
D	M22	370	Sílex	BP		88	12		1145	ns	w	10	10	3	
D	M22	371	Sílex	FBP		81	41		1138			19	4	1	
D	M22	372	Sílex	BP		98	51		1142	ns	se	46	22	18	
D	M22	373	Quars	FBP		98	48		1140	ns	s	20	15	5	
D	M22	374	Sílex	BP		95	37		1143	ns		10	5	1	
D	M22	375	Sílex	Indeterminat		99	30		1144	ew		35	34	10	
D	M22	376	Quars	BP		90	39		1143	ew	w	40	20	10	
D	M22	377	Sílex	BP		87	30		1144	ns	n	15	10	5	
D	M22	378	Sílex	FBP		18	25		1146	ew		30	20	10	
D	M22	379	Sílex	FBP		21	22		1146	ew	p	5	4	1	
D	M22	380	Sílex	BP		45	10		1147	ns	s	22	13	5	
D	M22	381	Sílex	BP		45	12		1146	q	p	13	10	2	
D	M22	382	Sílex	FBP		42	22		1145	nesw	p	25	11	5	
D	M22	383	Sílex	FBP		40	21		1145	ew	p	10	8	3	
D	M22	384	Sílex	FBP		44	21		1146	nwse	p	25	10	6	
D	M22	385	Sílex	BP		59	4		1148	ew	e	75	27	20	
D	M22	386	Quars	BP		36	30		1145	q	p	10	10	4	
D	M22	387	Sílex	FBP		40	25		1146	ew	p	17	6	3	
D	M22	388	Sílex	Indeterminat		60	25		1146	ns	n	60	30	25	
D	M22	389	Sílex	FBP		61	28		1148	ns	n	45	35	15	
D	M22	390	Os	Llarg	T.Pelita	68	21		1149	nwse	nw	60	30	10	Mesures aprox.
D	M22	391	Quarsita	BP		93	34		1144	nwse	sw	25	15	7	

La Cansaladeta, 2006

Niv	Qua	Núm	Material	Categoria	Taxó	X	Y	ZSUP	ZINF	Orien	Pen	Llar	Amp	Gr	Observacions
D	M22	392	Quars	FBP		74	34		1147	ns	p	15	10	2	
D	M22	393	Silex	FBP		80	22		1147	ew	p	10	8	2	
D	M22	394	Silex	FBP		88	21		1146	q		5	5	1	
D	M22	395	Quars	Fragment		82	35		1146	ew	p	10	10	5	
D	M22	396	Silex	BN2GC		78	46		1144	q	n	35	35	10	
D	M22	397	Quars	BP		95	34		1146	q	p	12	12	4	
D	M22	398	Silex	FBP		90	36		1145	nwse	p	8	5	2	
D	M22	399	Silex	FBP		88	43		1145	q	p	6	5	2	
D	M22	400	Silex	Fragment		85	41		1146		p	8	8	5	
D	M22	401	Silex	FBP		84	45		1146			10	10	4	
D	M22	402	Silex	FBP		80	47		1145	ew	p	15	10	5	
D	M22	403	Silex	BP		78	43		1146	q	p	10	10	4	
D	M22	404	Silex	Fragment		80	38		1146	q	p	5	5	3	
D	M22	405	Silex	FBP		83	33		1146	q	p	10	7	4	
D	M22	406	Silex	BP		86	24		1147	ew	p	15	10	5	
D	M22	407	Silex	BP		97	53		1147	ew	v	20	15	2	
D	M22	408	Silex	FBP		88	46		1145	ns	p	15	12	5	
D	M22	409	Silex	BP		99	52		1145	ew	v	40	40	25	Mesures aprox.
D	M22	410	Silex	BP		77	42		1146	nesw	nw	40	30	15	
D	M22	411	Silex	BP		69	46		1147	ns	p	20	12	5	
D	M22	412	Silex	BP		71	15		1149	ew	p	35	20	5	
D	M22	413	Silex	FBP		78	26		1148			12	10	3	
D	M22	414	Silex	FBP		76	36		1147		p	12	10	5	
D	M22	415	Silex	BP		70	31		1148		p	7	5	2	
D	M22	416	Silex	BP		66	31		1148	ew	p	23	12	5	
D	M22	417	Silex	BP		67	30		1148	ew	vv	21	21	3	
D	M22	418	Silex	BP		62	40		1149	nesw	wv	60	30	20	
D	M22	419	Silex	BN2GC		68	4		1149	nwse	ne	65	40	20	
D	M22	420	Silex	FBP		53	14		1150	nesw	sw	80	62	25	
D	M22	421	Silex	BP		58	17		1150	nwse	vh	30	12	5	
D	M22	422	Silex	BP		60	32		1148	nwse	ne	20	15	4	
D	M22	423	Silex	BP		58	37		1149			10	10	2	
D	M22	424	Silex	BP		84	14		1149	q	p	8	8	1	
D	M22	425	Silex	BP		88	12		1150			10	6	2	
D	M22	426	Silex	BP		94	13		1150	q	p	10	9	2	
D	M22	427	Silex	FBP		90	17		1149	q		8	8	2	
D	M22	428	Silex	BP		83	19		1151	nesw	ne	50	42	10	
D	M22	429	Quars	FBP		44	23		1149	nwse	ne	12	9	3	
D	M22	430	Silex	BN2GC		96	21		1150	nwse	ne	46	35	20	
D	M22	431	Silex	FBP		90	25		1150	nesw	se	35	15	14	
D	M22	432	Corniana	Indeterminat		80	4		1152	nesw	ne	180	140	60	
D	M22	433	Silex	BP		78	4		1150	nesw	ne	15	10	2	
D	M22	434	Silex	Fragment		88	10		1149	q	n	10	10	2	
D	M22	435	Silex	BP		88	20		1149			10	4	1	
D	M22	436	Silex	BP		93	27		1149			12	9	2	
D	M22	437	Silex	Fragment		75	10		1151	nwse	nw	25	20	15	
D	M22	438	Silex	FBP		62	26		1151	nwse		35	15	10	
D	M22	439	Silex	BP		91	35		1149	q		15	15	2	

La Cansaladeta, 2006

Niv	Qua	Núm	Material	Categoria	Taxó	X	Y	ZSUP	ZINF	Orien	Pen	Llar	Amp	Gr	Observacions
D	M22	450	Sílex	BP		74	37		1149	nesw		15	10	2	
D	M22	451	Sílex	BP		85	40		1149			15	10	3	
D	M22	452	Sílex	BP		77	50		1149	ew		30	25	8	
D	M22	453	Calcària	BP		77	8		1153	ew	e	30	25	2	
D	M22	454	Sílex	FBP		79	11		1153	ns	n	32	22	7	
D	M22	455	Quarsita	BP		70	16		1153			20	10	2	
D	M22	456	Sílex	FBP		81	13		1153	nesw	ne	25	15	10	
D	M22	457	Quarsita	FBP		87	13		1153	q	p	10	10	2	
D	M22	458	Sílex	BP		73	26		1154	q	n	30	30	5	
D	M22	459	Sílex	BP		81	25		1152	ns	p	12	7	2	
D	M22	460	Sílex	BP		90	18		1153	ns	s	75	50	20	
D	M22	461	Sílex	FBP		60	14		1153	ns	e	11	6	3	
D	M22	462	Sílex	FBP		68	32		1152	q		15	14	4	
D	M22	463	Corniana	Indeterminat		79	34		1151	nwse	p	75	50	25	
D	M22	464	Sílex	BP		96	38		1150			12	10	3	
D	M22	465	Sílex	FBP		84	14		1153	nwse	e	35	15	10	
D	M22	466	Sílex	FBP		97	17		1154	nwse	e	30	18	12	
D	M22	467	Sílex	FBP		89	20		1153			16	10	4	
D	M22	468	Sílex	BP		81	28		1153	nesw	nw	10	8	2	
D	M22	469	Sílex	BP		89	40		1151			4	4	1	
D	M22	470	Sílex	FBP		95	30		1151			7	6	3	Coord. aprox.
D	M22	471	Sílex	Fragment		100	26		1150	ew	p	8	5	5	
D	M22	472	Corniana	BP		98	28		1152	nwse	ne	30	23	7	
D	M22	473	Sílex	BP		98	33		1150			12	12	3	Mesures aprox.
D	M23	386	Sílex	BP		80	7		1145	q	p	19	17	5	
D	M23	387	Sílex	BP		95	7		1145	ns	s	27	15	7	
D	M23	388	Sílex	Fragment		93	9		1145			10	5	4	Coord. aprox.
D	M23	389	Quars	Fragment		95	15		1145	ew	p	9	6	5	
D	M23	390	Sílex	BP		93	10		1145			9	7	2	Coord. aprox.
D	M23	391	Quars	BP		88	21		1145	ns	n	16	12	6	
D	M23	392	Quars	Fragment		87	23		1145	q	sw	11	10	7	
D	M23	393	Sílex	BP		87	30		1145	ns	s	15	11	3	
D	M23	394	Sílex	FBP		88	40		1144	nwse	se	17	8	5	
D	M23	395	Sílex	FBP		72	12		1146	nesw	p	34	14	12	
D	M23	396	Sílex	FBP		69	12		1145	nesw	p	15	8	2	
D	M23	397	Sílex	BP		60	13		1145	q	p	15	12	4	
D	M23	398	Sílex	BP		48	14		1146	q	p	14	13	2	
D	M23	399	Sílex	Fragment		50	17		1147	q	p	14	13	10	
D	M23	400	Sílex	FBP		55	30		1144	nesw	se	32	15	8	
D	M23	401	Sílex	FBP		95	50		1142	ew	vh	13	10	3	
D	M23	402	Sílex	BN2GC		45	12		1147	ns	w	43	35	15	
D	M23	403	Sílex	BP		38	13		1147			25	10	4	Mesures aprox.
D	M23	404	Corniana	BP		40	19		1144			10	7	6	
D	M23	405	Quars	FBP		41	24		1145	q	p	17	15	15	
D	M23	406	Sílex	BP		48	30		1145			7	7	2	
D	M23	407	Sílex	BP		38	27		1145	nesw	se	30	20	10	
D	M23	408	Sílex	FBP		40	32		1143	ew	p	10	6	2	
D	M23	409	Sílex	BP		41	38		1143			5	4	1	

La Cansaladeta, 2006

Niv	Qua	Núm	Material	Categoria	Taxó	X	Y	ZSUP	ZINF	Orien	Pen	Llar	Amp	Gr	Observacions
D	M23	410	Sílex	BP		40	8		1145	ew	p	45	22	11	
D	M23	411	Sílex	FBP		38	12		1145	nesw	vv	10	10	3	
D	M23	412	Sílex	Indeterminat		35	17		1146	ew	p	20	10	10	Mesures aprox.
D	M23	413	Sílex	BP		37	24		1146	ns	s	12	10	3	
D	M23	414	Sílex	BP		37	26		1146	ns	p	14	9	4	
D	M23	415	Sílex	FBP		33	27		1145	ns	s	20	15	6	
D	M23	416	Quarsita	BP		38	30		1145	ns	e	25	20	6	
D	M23	417	Sílex	FBP		36	34		1145	nwse	se	34	28	20	
D	M23	418	Sílex	Fragment		38	37		1145			9	7	4	
D	M23	419	Sílex	Indeterminat		28	33		1143	nesw	vh	30	15	6	
D	M23	420	Sílex	FBP		36	27		1145			10	7	2	
D	M23	421	Sílex	FBP		27	31		1145	nesw	e	20	12	5	
D	M23	422	Sílex	FBP		15	19		1145	nwse	se	42	20	20	
D	M23	423	Sílex	Fragment		13	17		1145	ew	p	22	15	12	
D	M23	424	Sílex	BPF		15	13		1145	nwse	se	25	12	5	
D	M23	425	Sílex	FBP		18	11		1146			5	5	1	
D	M23	426	Sílex	BP		20	10		1145			13	11	3	
D	M23	427	Quars	Fragment		23	7		1145	nesw	p	5	2	1	
D	M23	428	Quarsita	FBP		25	4		1145	nwse	vv	22	18	5	
D	M23	429	Sílex	BP		16	5		1146			10	5	3	
D	M23	430	Sílex	BP		10	10		1145			7	5	2	
D	M23	431	Sílex	BP		5	10		1145			7	5	2	
D	M23	432	Quars	FBP		6	18		1145	nwse		20	12	8	
D	M23	433	Sílex	FBP		16	28		1145			3	2	1	
D	M23	434	Sílex	Fragment		14	40		1143	q	p	5	5	4	
D	M23	435	Sílex	BP		12	45		1141			3	2	1	Coord. aprox.
D	M23	436	Sílex	BP		16	42		1143	ns	s	23	12	7	
D	M23	437	Sílex	Indeterminat		20	39		1144	ns	ne	40	25	15	
D	M23	438	Sílex	BP		98	4		1146	nesw	sw	11	8	2	
D	M23	439	Sílex	BP		94	7		1145			6	4	1	Coord. aprox.
D	M23	440	Sílex	BP		94	11		1145	nesw	sw	26	10	4	
D	M23	441	Sílex	Indeterminat		91	10		1145			15	8	5	Coord. aprox. Mesures aprox.
D	M23	442	Sílex	BP		84	12		1146	nwse	ne	10	8	3	
D	M23	443	Sílex	BP		80	16		1146	ew	vh	25	16	5	
D	M23	444	Sílex	BP		85	25		1146	q	se	59	57	23	
D	M23	445	Quars	Fragment		88	24		1146	nesw	ne	6	5	4	2 frags. fractura natural
D	M23	446	Quars	FBP		89	23		1146			5	3	1	
D	M23	447	Sílex	BP		94	23		1144	ew	p	31	13	7	
D	M23	448	Sílex	FBP		94	15		1145			11	5	1	Coord. aprox.
D	M23	449	Sílex	BP		98	16		1144			6	5	2	
D	M23	450	Sílex	BP		75	12		1147			22	18	10	
D	M23	451	Sílex	BP		67	25		1146	nwse	e	30	17	10	
D	M23	452	Quarsita	BP		69	30		1146	q	p	32	30	10	
D	M23	453	Sílex	FBP		80	24		1146			11	6	3	
D	M23	454	Sílex	BP		100	4		1146	nesw	sw	30	23	10	
D	M23	455	Sílex	FBP		82	3		1146			6	5	2	

La Cansaladeta, 2006

Niv	Qua	Núm	Material	Categoria	Taxó	X	Y	ZSUP	ZINF	Orien	Pen	Llar	Amp	Gr	Observacions
D	M23	456	Quarsita	BP		81	7		1146	ew	p	15	10	6	
D	M23	457	Silex	BP		69	23		1146			8	5	2	
D	M23	458	Silex	BP		78	25		1146			5	5	2	
D	M23	459	Silex	BP		85	30		1145			10	7	4	
D	M23	460	Silex	FBP		87	31		1145	ew	vh	15	12	5	
D	M23	461	Silex	FBP		84	29		1145			11	7	1	
D	M23	462	Silex	BP		90	30		1145	ns	p	10	6	2	
D	M23	463	Silex	FBP		93	33		1144	nesw	sw	29	17	12	
D	M23	464	Silex	FBP		94	29		1145	nwse	p	11	5	3	
D	M23	465	Silex	BP		98	16		1146	nwse	p	33	19	17	Consolidat
D	M23	466	Silex	BP		71	18		1147			10	7	2	Coord. aprox.
D	M23	467	Silex	FBP		68	37		1145			5	4	3	
D	M23	468	Silex	FBP		79	37		1145	nesw	p	10	5	2	
D	M23	469	Silex	BP		86	32		1145	ew	v	12	7	3	
D	M23	470	Quars	BP		91	36		1146	ns	p	20	15	7	
D	M23	471	Silex	FBP		49	12		1147			10	10	4	Coord. aprox.
D	M23	472	Silex	FBP		57	8		1147	ew	e	20	14	6	
D	M23	473	Silex	BP		64	5		1148			6	5	2	
D	M23	474	Silex	BP		67	11		1148	nwse	p	45	28	12	
D	M23	475	Silex	FBP		56	23		1146	nwse	se	22	15	10	
D	M23	476	Silex	Fragment		60	30		1147	ns	s	60	30	23	
D	M23	477	Silex	FBP		66	34		1145			7	3	1	
D	M23	478	Silex	BP		57	11		1148			6	4	1	
D	M23	479	Silex	BP		56	32		1146	nwse	vh	11	8	2	
D	M23	480	Silex	FBP		63	33		1146	ew	v	5	3	1	
D	M23	481	Silex	BP		38	12		1148			4	4	2	
D	M23	482	Silex	BP		36	15		1148	nesw	sw	28	22	9	Fragmentat
D	M23	483	Silex	Indeterminat		36	18		1147			10	6	3	Mesures aprox.
D	M23	484	Silex	BP		41	18		1148	nesw	sw	30	26	8	
D	M23	485	Quarsita	BP		41	16		1149	q	p	11	11	4	
D	M23	486	Silex	BN2GC		42	30		1148	q	w	36	35	20	
D	M23	487	Silex	Indeterminat		60	29		1147	ew	p	15	8	6	Mesures aprox.
D	M23	488	Corniana	Indeterminat		31	12		1149	ns	p	60	20	10	No recuperat
D	M23	489	Quars	Fragment		37	18		1149	q	p	12	12	8	Remonta amb nº 490
D	M23	490	Quars	BP		36	20		1148	q	p	15	14	9	Remonta amb nº 489
D	M23	491	Silex	FBP		41	21		1148			6	4	2	
D	M23	492	Corniana	Indeterminat		42	32		1146			10	5	5	No recuperat
D	M23	493	Silex	FBP		41	34		1146	nesw	sw	15	13	4	
D	M23	494	Silex	FBP		46	34		1146			8	3	1	
D	M23	495	Quarsita	FBP		32	10		1149	ns	vv	16	7	4	
D	M23	496	Quarsita	FBP		32	21		1148	q	p	15	14	5	
D	M23	497	Silex	BP		32	26		1147	nwse	nw	29	19	10	
D	M23	498	Silex	FBP		30	30		1146			7	4	2	
D	M23	499	Quars	FBP		29	40		1145			5	4	2	
D	M23	500	Silex	Fragment		40	30		1147			7	4	4	
D	M23	501	Silex	FBP		84	7		1148	ns	e	22	15	7	
D	M23	502	Silex	FBP		85	11		1148	nesw	p	30	20	20	
D	M23	503	Quars	FBP		86	20		1148	nwse	se	17	7	7	

La Cansaladeta, 2006

Niv	Qua	Núm	Material	Categoria	Taxó	X	Y	ZSUP	ZINF	Orien	Pen	Llar	Amp	Gr	Observacions
D	M23	504	Sílex	BP		93	26		1148	ns	p	27	17	7	
D	M23	505	Sílex	Indeterminat		86	41		1147	nwse	v	76	47	18	
D	M23	506	Quars	FBP		81	41		1145	ns	p	25	20	7	
D	M23	507	Sílex	Indeterminat		81	23		1146	ew	e	20	15		No recuperat
D	M23	508	Sílex	Indeterminat		74	22		1148	ns	se	30	20		No recuperat
D	M23	509	Sílex	FBP		76	15		1149			7	4	1	
D	M23	510	Sílex	FBP		72	11		1149			6	4	1	
D	M23	511	Sílex	BP		72	5		1149	q		20	17	6	
D	M23	512	Quarsita	BP		81	9		1149	nesw	sw	35	17	4	
D	M23	513	Sílex	BP		30	6		1148			7	5	2	
D	M23	514	Sílex	BP		20	12		1147	nesw	ne	10	7	6	
D	M23	515	Sílex	FBP		19	11		1147	nwse	ne	9	4	1	
D	M23	516	Sílex	Fragment		14	10		1146	ns	sw	23	10	6	
D	M23	517	Sílex	FBP		15	18		1146	nwse	nw	10	7	5	
D	M23	518	Sílex	BP		29	24		1148			5	5	1	
D	M23	519	Sílex	BP		19	10		1149	ns	vh	13	8	5	
D	M23	520	Sílex	BP		9	12		1148			17	15	7	Coord. aprox.
D	M23	521	Corniana	BN1GC		9	37	1140	1145	ns	p	150	130	45	
D	M23	522	Sílex	BP		50	8		1151	nwse	ne	45	20	5	
D	M23	523	Sílex	FBP		63	32		1148	q	p	38	37	22	
D	M23	524	Sílex	BP		67	32		1148	q	p	22	2	2	
D	M23	525	Sílex	FBP		77	39		1148	nesw	p	15	8	6	
D	M23	526	Lidita	FBP		10	33		1146			7	5	2	
D	M23	527	Corniana	Indeterminat		11	54		1143	ew	p	60	40	20	No recuperat
D	M23	528	Sílex	FBP		44	20		1150			17	7	5	Coord. aprox.
D	M23	529	Sílex	FBP		48	27		1149			5	5	2	
D	M23	530	Sílex	BP		52	31		1148	nwse	vh	25	16	7	
D	M23	531	Sílex	Fragment		45	32		1149			9	5	5	
D	M23	532	Sílex	BP		62	44		1146			10	5	1	
D	M23	533	Quars	FBP		62	49		1146	nwse	se	22	7	6	
D	M23	534	Sílex	Indeterminat		49	3		1151			15	9	5	
D	M23	535	Sílex	FBP		44	12		1151			10	5	3	
D	M23	536	Sílex	FBP		42	18		1151			5	4	1	
D	M23	537	Sílex	FBP		33	15		1150	ns	p	17	14	8	
D	M23	538	Sílex	Indeterminat		36	7		1150	ew	vh	30	15	7	No recuperat
D	M23	539	Sílex	FBP		29	7		1150			8	3	1	
D	M23	540	Sílex	BP		29	2		1150			7	5	2	
D	M23	541	Os	Llarg	T.Petita	21	2		1151	ew	wv	25	14	4	Cremat
D	M23	542	Corniana	Indeterminat		38	35	1145	1149	ew	p	65	45	25	Mesures aprox.
D	M23	543	Sílex	BP		7	28		1149			5	4	2	
D	M23	544	Quarsita	BP		5	34		1146	ns	v	9	9	4	
D	M23	545	Sílex	FBP		9	38		1147	ew	vh	17	14	5	
D	M23	546	Sílex	BP		28	23		1149			5	5	2	
D	M23	547	Sílex	Indeterminat		29	37		1146			4	3	2	
D	M23	548	Sílex	Fragment		41	44		1147			10	10	6	
D	M23	549	Sílex	BP		0	27		1150	q	nw	15	15	4	
D	M23	550	Sílex	BP		5	35		1148	ew	w	9	6	2	
D	M23	551	Sílex	Indeterminat		0	40		1146	ns	s	37	23	10	No recuperat

La Cansaladeta, 2006

Niv	Qua	Núm	Material	Categoria	Taxó	X	Y	ZSUP	ZINF	Orien	Pen	Llar	Amp	Gr	Observacions
D	M23	552	Quars	BP		11	44		1146	nwse	se	30	25	10	
D	M23	553	Silex	Fragment		13	48		1144			10	7	4	
D	M23	554	Quars	Indeterminat		23	46		1146	ew	w	30	15	10	
D	M23	555	Quarsita	FBP		2	47		1143	ew	s	12	7	3	
D	M23	556	Silex	BP		6	45		1145	ew	s	20	17	4	
D	M23	557	Silex	Indeterminat		40	50		1147	ns	p	55	40	30	Mesures aprox.
D	M23	558	Corniana	Indeterminat		87	29		1149	nwse	p	17	14	5	
D	M23	559	Silex	Indeterminat		89	16		1149			15	15	4	
D	M23	560	Silex	FBP		91	13		1149	q	p	7	6	1	
D	M23	561	Quarsita	Bnc		77	11		1150	nwse	se	47	40	35	
D	M23	562	Silex	Fragment		71	20		1149			7	5	2	
D	M23	563	Quars	FBP		59	22		1151	ew	s	12	5	4	
D	M23	564	Silex	BP		51	29		1150	q	p	10	8	3	
D	M23	565	Silex	BP		49	30		1150	nwse	vh	25	20	7	
D	M23	566	Silex	Indeterminat		66	40		1149	q		35	35	4	
D	M23	567	Corniana	Indeterminat		46	40		1149	ns	p	30	26	15	
D	M23	568	Silex	FBP		47	29		1150	ew	s	12	7	3	
D	M23	569	Silex	BP		68	17		1150	nesw	ne	10	9	2	
D	M23	570	Silex	FBP		78	7		1150	nwse	ne	11	7	2	
D	M23	571	Silex	Fragment		97	7		1150			15	9	9	
D	M23	572	Silex	BP		78	26		1150	nwse	w	19	19	5	
D	M23	573	Silex	FBP		87	41		1149	ew	p	15	10	7	
D	M23	574	Quars	FBP		88	45		1148	ns	s	15	5	3	
D	M23	575	Silex	BP		90	22		1151	ns	p	7	4	2	
D	M23	576	Silex	BP		72	44		1148			15	10	5	
D	M23	577	Corniana	Fragment		58	39		1150	ew	vh	24	14	9	
D	M23	578	Corniana	Indeterminat		50	44		1149			70	40	5	Mesures aprox.
D	M23	579	Silex	BP		44	28		1151	nwse	p	35	20	8	
D	M23	580	Silex	Fragment		33	15		1151	nwse	p	16	9	2	
D	M23	581	Silex	BP		22	31		1150	ew	vh	45	40	5	
D	M23	582	Corniana	Indeterminat		30	32		1151			22	9	6	
D	M23	583	Silex	Fragment		37	29		1150	q	p	8	5	2	
D	M23	584	Quarsita	FBP		39	29		1150	nwse	ne	21	8	5	
D	M23	586	Corniana	Indeterminat		31	8		1153	nwse	e	25	15	10	
D	M23	587	Silex	BP		33	1		1152	ew	p	7	5	2	
D	M23	588	Silex	FBP		27	5		1152			21	19	6	
D	M23	589	Silex	FBP		27	6		1152			10	7	6	
D	M23	590	Quars	BN1GE		47	22		1153	q	p	70	70	30	
D	M23	591	Silex	BP		39	10		1153			7	6	2	
D	M23	592	Silex	BP		24	18		1154	nwse	se	45	30	9	
D	M23	593	Silex	FBP		27	21		1153	nesw	ne	30	15	5	
D	M23	594	Silex	BP		28	25		1152	q	s	11	11	2	
D	M23	595	Silex	Indeterminat		23	31		1152	ns	s	27	14	3	Mesures aprox.
D	M23	596	Corniana	Indeterminat		97	45		1141	q	p	36	36	10	
D	M24	277	Silex	BP		16	3		1146	ns		20	10	3	
D	M24	278	Quars	Fragment		18	3		1146			8	4	1	
D	M24	279	Silex	BP		48	7		1147	nesw	nw	16	11	5	
D	M24	280	Silex	BPF		54	27		1147			15	7	3	

La Cansaladeta, 2006

Niv	Qua	Núm	Material	Categoria	Taxó	X	Y	ZSUP	ZINF	Orien	Pen	Llar	Amp	Gr	Observacions
D	M24	281	Sílex	BPF		13	18		1146			10	5	1	Coord. aprox.
D	M24	282	Sílex	BP		13	26		1146			20	10	4	Coord. aprox.
D	M24	283	Corniana	Indeterminat		47	14	1144	1148	ew	p	90	70	30	Mesures aprox.
D	M24	284	Corniana	Indeterminat		61	28	1143	1146	ew	p	70	40	25	
D	M24	285	Sílex	Fragment		65	21		1146	nwse	sw	15	7	7	
D	M24	286	Sílex	Fragment		66	31		1146	nwse	p	10	7	5	
D	M24	287	Sílex	Indeterminat		71	32		1146			30	15	3	Mesures aprox.
D	M24	288	Sílex	BN2GC		19	35		1145	q	p	35	35	12	
D	M24	289	Sílex	BP		3	20		1145			10	5	3	Coord. aprox.
D	M24	290	Sílex	FBP		22	42		1140	nwse	v	20	19	2	
D	M24	291	Sílex	BP		20	13		1147			15	11	4	Coord. aprox.
D	M24	292	Sílex	Indeterminat		38	11		1148			17	8	6	Coord. aprox.
D	M24	293	Sílex	BP		39	25		1145			14	7	2	Coord. aprox.
D	M24	294	Corniana	Fragment		33	94		1147			21	13	5	Coord. aprox.
D	M24	295	Sílex	BP		58	41		1144	ew	n	18	14	6	
D	M24	296	Sílex	FBP		69	45		1143			15	10	6	Mesures aprox.
D	M24	297	Quars	BP		93	23		1146			14	9	7	Coord. aprox.
D	M24	298	Sílex	BP		16	43		1144	ew	p	60	45	7	
D	M24	299	Sílex	BP		32	31		1145	ew	p	62	46	9	
D	M24	300	Sílex	BPF		28	29		1146	nesw	ne	70	40	5	
D	M24	301	Sílex	FBP		4	16		1145	nwse	p				Coord. aprox.
D	M24	302	Sílex	FBP		0	13		1145	ns	s	25	15	7	Coord. aprox.
D	M24	303	Sílex	BP		3	12		1146						Coord. aprox.
D	M24	304	Sílex	FBP		2	9		1147	q	n	17	15	3	
D	M24	305	Sílex	FBP		7	7		1147	q	p	10	7	2	
D	M24	306	Sílex	BP		6	6		1147	q	p	7	5	1	
D	M24	307	Sílex	BP		63	3		1148	ew	p	15	11	6	
D	M24	308	Sílex	BP		58	8		1148			15	12	7	
D	M24	309	Sílex	BP		73	43		1144	nesw	nw	17	13	3	
D	M24	310	Sílex	BP		83	42		1143	nwse	vh	23	20	8	
D	M24	311	Sílex	FBP		77	5		1147	ew	p	27	20	10	Mesures aprox.
♣	M24	312	Sílex	BP		75	1		1147			8	6	2	
D	M24	313	Sílex	BN2GC		59	14		1148	ew	w	35	27	15	
D	M24	314	Quars	Fragment		58	16		1148			7	5	4	
D	M24	315	Sílex	FBP		67	20		1147	ew	vh	11	9	3	
D	M24	316	Sílex	BP		63	33		1147	ew	vh	44	35	12	
D	M24	317	Sílex	FBP		62	37		1146			13	10	6	
D	M24	318	Sílex	Fragment		79	32		1147			13	11	8	
D	M24	319	Sílex	Fragment		79	28		1146	ew	p	25	22	7	
D	M24	320	Sílex	FBP		94	46		1143	nesw		12	8	5	
D	M24	321	Sílex	BP		96	11		1147	ns	p	21	14	7	
D	M24	322	Sílex	Fragment		78	11		1147			10	6	2	
D	M24	323	Quars	BP		24	42		1142	q	p	20	18	6	
D	M24	324	Sílex	BP		10	26		1146	nwse	ne	20	17	4	
D	M24	325	Sílex	BP		17	24		1147	nwse	vh	35	24	22	
D	M24	326	Sílex	BP		4	18		1146	nwse	p	30	17	4	
D	M24	327	Sílex	FBP		23	17		1148	q	ne	7	7	1	
D	M24	328	Sílex	BP		8	6		1447	q	s	12	11	2	

La Cansaladeta, 2006

Nº	Qua	Núm	Material	Categoria	Taxó	X	Y	ZSUP	ZINF	Orien	Pen	Llar	Amp	Gr	Observacions
D	M24	329	Silex	BP		24	10		1148	ew	p	11	4	1	
D	M24	330	Silex	FBP		23	3		1148	ns	s	15	7	4	
D	M24	331	Silex	FBP		22	3		1149	nwse	p	15	10	4	
D	M24	332	Silex	BP		31	9		1148		p	5	5	1	
D	M24	333	Silex	BP		40	13		1149	ns	n	40	30	10	
D	M24	334	Silex	BP		46	9		1149			12	6	4	
D	M24	335	Silex	FBP		46	22		1148	ew	e	24	18	8	
D	M24	336	Silex	BP		8	23		1146	ew	w	27	20	5	
D	M24	337	Silex	FBP		11	15		1149			3	3	1	
D	M24	338	Silex	BP		29	12		1148	ew	p	12	9	1	
D	M24	339	Silex	BP		28	8		1149	q	p	6	5	1	
D	M24	340	Silex	FBP		36	11		1148	q	p	40	32	4	
D	M24	341	Silex	FBP		2	5		1149	ns	n	17	12	7	
D	M24	342	Quarsita	BPF		12	4		1149	q	p	20	20	5	
D	M24	343	Silex	FBP		33	2		1149	nwse	vh	17	11	5	
D	M24	344	Silex	BP		39	2		1149	ew	e	20	15	5	
D	M24	345	Silex	BP		42	5		1149	q	s	17	15	5	
D	M24	346	Silex	BP		66	13		1148			8	6	2	
D	M24	347	Silex	BP		79	17		1147	ew	p	10	8	5	
D	M24	348	Silex	Indeterminat		79	16		1147						
D	M24	349	Silex	Fragment		78	6		1146	q	p	10	10	6	
D	M24	350	Silex	BP		81	14		1147			7	5	2	
D	M24	351	Silex	FBP		63	13		1147			10	6	1	
D	M24	352	Silex	FBP		92	25		1146	nwse	se	20	15	10	
D	M24	353	Silex	FBP		19	39		1144	ew	w	7	5	1	
D	M24	354	Silex	FBP		18	37		1146	ew	w	12	7	2	
D	M24	355	Silex	Indeterminat		21	34		1146	ew		14	8	3	Mesures aprox.
D	M24	356	Silex	BP		3	31		1147	ew	e	20	10	5	
D	M24	357	Silex	BP		89	27		1147	q	n	34	34	10	
D*	M24	358	Silex	Fragment		2	21		1147	nwse	p	12	7	4	
D	M24	359	Corniana	Indeterminat		18	16		1148	nwse		55	24		No recuperat
D	M24	360	Silex	BP		22	7		1150	nesw	ne	12	10	4	
D	M24	361	Silex	Indeterminat		32	3		1149	nwse		40	20		No recuperat
D	M24	362	Corniana	Indeterminat		44	14		1148	nesw		77	60		No recuperat
D	M24	363	Quars	Fragment		54	15		1149	q	p	8	8	5	
D	M24	364	Corniana	Indeterminat		58	28		1147	nwse		55	40		No recuperat
D	M24	365	Silex	BPF		59	13		1149	nwse	se	14	5	3	
D	M24	366	Silex	BP		61	9		1150	nwse	se	30	21	17	
D	M24	367	Silex	BP		72	32		1149	ew	sw	17	6	2	
D	M24	368	Silex	FBP		75	31		1147	nesw	sw	12	8	2	
D	M24	369	Silex	BP		76	17		1148	q	s	35	35	7	
D	M24	370	Silex	BP		79	14		1147	nwse	se	26	22	8	
D	M24	371	Silex	FBP		92	6		1147	ns	p	11	8	1	Coord. aprox.
D	M24	372	Silex	BP		94	23		1148	ew	s	13	9	4	
D	M24	373	Silex	FBP		98	24		1146	ns	s	27	13	4	
D	M24	374	Silex	BN2GC		93	29		1148	ns	s	45	40	10	
D	M24	375	Silex	Fragment		91	13		1149	ns	p	55	40	20	
D	M24	376	Silex	BN2GC		70	27		1148	ew	vh	40	24	15	

La Cansaladeta, 2006

Niv	Qua	Núm	Material	Categoria	Taxó	X	Y	ZSUP	ZINF	Orien	Pen	Llar	Amp	Gr	Observacions
D	M24	377	Sílex	BP		71	24		1149	q	s	20	19	4	
D	M24	378	Sílex	BP		78	22		1148	ew	vh	26	25	6	
D	M24	379	Quarsita	FBP		75	20		1147	ew	p	20	15	9	
D	M24	380	Quarsita	BP		82	25		1148			12	10	4	
D	M24	381	Sílex	BP		80	18		1147			10	6	2	
D	M24	382	Sílex	FBP		82	18		1148			14	6	2	
D	M24	383	Quars	FBP		64	3		1150	nesw	sw	20	8	6	Mesures aprox.
D	M24	384	Sílex	Fragment		74	4		1151	nwse	p	40	25	17	
D	M24	385	Corniana	Indeterminat		65	7		1149	ns		60	35	20	No recuperat. Mesures aprox.
D	M24	386	Corniana	Indeterminat		80	0		1151	q		30	25	10	No recuperat. Mesures aprox.
D	M24	387	Sílex	FBP		24	31		1149	ew	s	33	23	16	
D	M24	388	Sílex	Indeterminat		13	39		1150	ew	e	25	15	6	Mesures aprox.
D	M24	389	Sílex	BP		5	27		1149	ns	s	19	15	5	
D	M24	390	Sílex	BP		13	10		1151	ew	p	12	6	2	
D	M24	391	Corniana	FBP		16	8		1151	ew	w	44	27	10	
D	M24	392	Sílex	Fragment		13	5		1151	q		8	7	5	
D	M24	393	Sílex	BN2GC		26	11		1151	ns	v	25	22	2	
D	M24	394	Sílex	Indeterminat		41	11		1150	nesw	nw	40	32	7	No recuperat
D	M24	395	Sílex	FBP		45	25		1149	ew	e	70	44	17	
D	M24	396	Sílex	BP		3	34		1148	q	s	7	7	1	
D	M24	397	Sílex	FBP		61	10		1151	ns	s	29	25	15	
D	M24	398	Sílex	FBP		63	11		1151	nwse	n	15	8	3	
D	M24	399	Quars	Fragment		64	6		1151	ew	n	20	12	9	
D	M24	400	Sílex	BP		73	15		1149	ew	p	10	5	2	
D	M24	401	Sílex	BPF		68	26		1149	q	n	19	9	6	
D	M24	402	Sílex	FBP		64	30		1149	nesw	p	20	10	2	Mesures aprox.
D	M24	403	Corniana	Indeterminat		69	30		1149	ew	p	19	7	3	
D	M24	404	Sílex	BP		78	32		1148	nesw	p	13	10	1	
D	M24	405	Sílex	BP		89	38		1148	ew	p	9	7	1	
D	M24	406	Sílex	Fragment		87	41		1146			6	5	4	
D	M24	407	Sílex	Fragment		77	47		1146	ew	p	10	8	6	
D	M24	408	Sílex	Fragment		77	39		1146	ns	p	7	5	4	
D	M24	409	Corniana	Indeterminat		72	43		1147			20	4	4	Mesures aprox.
D	M24	410	Sílex	BP		71	39		1147	q	p	8	8	1	
D	M24	411	Sílex	Fragment		65	39		1146	nwse		24	13	10	
D	M24	412	Sílex	BP		56	39		1147	ew	p	32	25	5	Mesures aprox.
D	M24	413	Sílex	BP		58	38		1147	q	p	15	15	3	Mesures aprox.
D	M24	414	Sílex	BP		5	35		1150	q	p	10	9	3	
D	M24	415	Sílex	BP		4	32		1150	ns	w	30	17	4	
D	M24	416	Corniana	FBP		10	30		1151	ew	ne	45	31	12	
D	M24	417	Sílex	BP		7	21		1151	q	e	15	10	5	
D	M24	418	Sílex	BP		8	17		1151	ew	p	20	13	6	
D	M24	419	Sílex	BP		18	12		1152	ew	p	13	10	5	
D	M24	420	Sílex	FBP		19	7		1152	ew	ne	22	18	10	
D	M24	421	Quars	BP		21	5		1152	ew	p	15	7	5	
D	M24	422	Sílex	BP		23	17		1151			7	5	1	

La Cansaladeta, 2006

Niv	Qua	Núm	Material	Categoria	Taxó	X	Y	ZSUP	ZINF	Orien	Pen	Llar	Amp	Gr	Observacions
D	M24	423	Silex	BP		30	16		1151	q	v	12	12	1	
D	M24	424	Silex	BP		35	23		1151	ns	s	32	20	5	Mesures aprox.
D	M24	425	Quars	BP		52	11		1150	ew	p	35	27	20	
D	M24	426	Silex	Fragment		56	4		1153			15	9	7	Coord. Aprox.
D	M24	427	Corniana	Indeterminat		61	29		1150	ew	s	50	40	15	Mesures aprox.
D	M24	428	Corniana	Indeterminat		69	31		1150	ew	p	22	10	5	
D	M24	429	Silex	FBP		74	37		1148	nwse	vh	19	7	4	
D	M24	430	Silex	BP		66	1		1153	nesw	vv	12	11	2	
D	M24	431	Silex	Fragment		59	7		1151	q	nw	50	50	30	
D	M24	432	Silex	BP		52	8		1151	nesw	sw	12	6	6	Mesures aprox.
D	M24	433	Corniana	BP		57	15		1151	ew	p	14	8	4	
D	M24	434	Silex	FBP		60	21		1152			9	7	3	Mesures aprox.
D	M24	435	Silex	FBP		50	15		1151	q	p	7	7	3	
D	M24	436	Silex	BP		49	20		1151	ew	p	7	5	2	
D	M24	437	Quarsita	BP		47	13		1151	q	p	50	50	15	
D	M24	438	Silex	FBP		64	8		1152	ns	n	23	11	4	
D	M24	439	Silex	BP		65	27		1150	nesw	ne	16	11	3	
D	M24	440	Silex	BP		73	18		1151			10	6	1	
D	M24	441	Quarsita	FBP		75	9		1152	q	p	25	22	7	
D	M24	442	Quars	FBP		79	7		1152	nwse	p	36	26	13	
D	M24	443	Silex	Indeterminat		28	5		1156			18	7	3	
D	M24	444	Quars	FBP		24	6		1155	q	p	29	26	14	
D	M24	445	Silex	BP		19	5		1154			8	5	1	
D	M24	446	Silex	FBP		18	2		1154			6	4	2	
D	M24	447	Silex	FBP		15	3		1152			11	6	2	
D	M24	448	Silex	BP		16	11		1152			13	9	2	
D	M24	449	Silex	BP		22	14		1153	q	e	39	37	6	
D	M24	450	Silex	FBP		29	10		1153	ew	p	17	8	2	
D	M24	451	Esquist	Fragment		36	11	1151	1155	nesw	p	80	40	27	
D	M24	452	Silex	FBP		45	5		1153			9	8	3	
D	M24	453	Silex	BP		45	2		1154	ew	s	30	20	6	
D	M24	454	Silex	FBP		50	2		1153			11	8	6	
D	M24	455	Silex	BP		53	7		1153			8	6	2	
D	M24	456	Silex	FBP		56	7		1153			10	5	2	
D	M24	457	Silex	BP		60	2		1153			7	3	1	
D	M24	458	Silex	BP		36	8		1156	nesw	vv	32	17	10	
D	M24	459	Silex	BPF		52	8		1154			14	10	2	
D	M24	460	Silex	FBP		56	19		1151			10	5	1	
D	M24	461	Silex	FBP		61	13		1153	ns	vv	20	11	3	
D	M24	462	Silex	BP		64	20		1152	ns	vv	19	14	3	
D	M24	463	Silex	FBP		74	22		1150			8	5	3	
D	M24	464	Silex	BP		41	1		1158	nwse	p	40	30	16	
D	M24	465	Silex	FBP		40	11		1155	nwse	vh	18	16	2	
D	M24	466	Silex	BN2GC		36	16		1152			25	20	15	
D	M24	467	Silex	BP		48	12		1152	nesw	sw	24	20	4	
D	M24	468	Silex	BP		51	11		1153			15	13	3	
D	M24	469	Silex	BP		55	14		1153	nwse	p	28	19	6	
D	M24	470	Silex	FBP		64	22		1153			21	10	6	

La Cansaladeta, 2006

Niv	Qua	Núm	Material	Categoria	Taxó	X	Y	ZSUP	ZINF	Orien	Pen	Llar	Amp	Gr	Observacions
D	M24	471	Sílex	BP		60	7		1155			14	14	5	
D	M24	472	Sílex	BP		11	1		1155			23	12	9	
D	M24	473	Sílex	BP		15	3		1154			19	11	3	
D	M24	474	Sílex	FBP		13	10		1154	q	p	16	12	6	
D	M24	475	Sílex	BP		51	12		1156	ew	sw	27	18	12	
D	M24	476	Sílex	BP		54	21		1152			8	5	2	
D	M24	477	Sílex	FBP		70	18		1152			9	8	2	
D	M24	478	Sílex	FBP		76	15		1152			19	13	3	
D	M24	479	Sílex	FBP		65	27		1151	ns	s	25	20	13	
D	M24	480	Sílex	BP		51	22		1152			17	12	5	
D	M24	481	Sílex	BP		43	27		1151			16	11	4	
D	M24	482	Sílex	FBP		14	11		1155	nesw	p	50	17	12	
D	M24	483	Sílex	BP		10	1		1155	q	sw	24	20	5	
J	K26	131	Sílex	BP		40	75		1215			10	4	1	
J	K26	132	Sílex	Fragment		49	78		1217			11	6	2	
J	K26	133	Sílex	FBP		51	72		1216			6	3	1	
J	K26	134	Sílex	Fragment		52	71		1216			3	2	1	
J	K26	135	Os	Llarg	T.Mitjana	64	94		1215	ns	p	36	21	5	
J	K26	136	Sílex	Fragment		68	86		1213			3	2	1	
J	K26	137	Sílex	BP		73	92		1212			8	5	1	
J	K26	138	Sílex	BP		52	88		1219	ew	w	13	9	4	
J	K26	139	Sílex	BPF		51	92		1220	ew	w	16	9	3	
J	K26	140	Sílex	BP		53	95		1220			23	20	6	
J	K26	141	Os	Llarg	T.Mitjana	54	96		1219			35	15	10	
J	K26	142	Sílex	FBP		78	93		1211			9	5	2	
J	K26	143	Quars	FBP		82	88		1211			15	10	3	
J	K26	144	Sílex	BP		1	62		1222			17	15	4	
J	K26	145	Sílex	BP		70	66		1217			5	3	1	
J	K26	146	Sílex	BP		78	83		1215			5	3	1	
J	K26	147	Corniana	Bna		85	70		1213	ew	p	30	17	7	
J	K26	148	Sílex	BP		69	88		1217	ns	e	57	40	8	
J	K26	149	Sílex	Fragment		72	79		1216			5	5	2	
J	K26	150	Sílex	FBP		92	93		1214			7	5	1	
J	K26	151	Sílex	BP		36	75		1219			8	4	1	Coord. aprox.
J	K26	152	Sílex	BP		50	91		1222			4	3	1	
J	K26	153	Sílex	BP		30	89		1222			13	5	2	
J	K26	154	Sílex	Fragment		31	75		1220			11	4	4	
J	K26	155	Sílex	Fragment		25	79		1221			5	3	1	
J	K26	156	Sílex	Fragment		21	77		1221			5	4	1	
J	K26	157	Sílex	Fragment		21	75		1221			5	3	1	
J	K26	158	Sílex	Fragment		28	80		1222			6	4	2	
J	K26	159	Sílex	Fragment		29	80		1222			7	4	2	
J	K26	160	Sílex	BP		28	81		1222			7	4	2	
J	K26	161	Sílex	Fragment		29	93		1223			3	2	1	
J	K26	162	Sílex	BP		40	77		1220			5	5	1	
J	K26	163	Corniana	BN1GC		59	90	1216	1222	nwse	nw	175	160	45	
J	K26	164	Sílex	FBP		5	81		1223			6	2	1	
J	K26	165	Sílex	BP		5	68		1226			18	12	3	Coord. aprox.

La Cansaladeta, 2006

Niv	Qua	Núm	Material	Categoria	Taxó	X	Y	ZSUP	ZINF	Orien	Pen	Llar	Amp	Gr	Observacions
J	K26	166	Silex	BP		15	70		1226			23	15	5	Coord. aprox.
J	K26	167	Silex	FBP		22	97		1226			9	6	1	
J	K26	168	Silex	FBP		20	86		1225	q	s	13	10	2	
J	K26	169	Silex	FBP		23	78		1225			11	5	1	
J	K26	170	Silex	BP		24	75		1225	ew	w	17	12	2	
J	K26	171	Silex	FBP		31	90		1223			11	8	1	
J	K26	172	Silex	BP		32	72		1224			8	7	1	
J	K26	173	Silex	BP		36	79		1225	ns	p	83	43	18	
J	K26	174	Corniana	FBP		38	84		1223	ew	p	26	18	4	
J	K26	175	Corniana	BP		27	84		1227	ns	n	20	14	4	
J	K26	176	Silex	BP		37	89		1225	q	p	12	10	2	
J	K26	177	Silex	Fragment		34	88		1226	ns	p	15	8	5	
J	K26	178	Silex	BP		32	85		1226			12	10	3	
J	K26	179	Silex	FBP		38	72		1225	ns	p	10	5	3	
J	K26	180	Corniana	FBP		44	82		1224			11	5	2	
J	K26	181	Os	Indeterminat	Indet	43	71		1226	nwse	nw	12	3	1	
J	K26	182	Silex	BP		10	94		1229			12	9	3	
J	K26	183	Silex	BP		15	92		1227			10	8	3	
J	K26	184	Silex	BP		29	87		1228			10	6	2	
J	K26	185	Silex	FBP		39	82		1227	ew	w	14	5	2	
J	K26	186	Os	Indeterminat	Indet	11	81		1232	ew	w	26	11	7	
J	K26	187	Os	Costella	T.Mitjana	70	80		1221			27	18	7	
J	K26	188	Os	Costella	T.Mitjana	18	94		1231	ew	nw	60	30	10	
J	K26	189	Silex	BP		17	90		1232	nesw	n	75	50	20	
J	K26	190	Quars	FBP		20	85		1232	ew	vh	48	27	15	Remonta amb nº 195
J	K26	191	Silex	BP		24	86		1233	ns	p	25	15	4	Possible FBN1GE
J	K26	192	Silex	FBP		5	76		1233	ns	p	25	15	4	
J	K26	193	Silex	FBP		6	78		1234	nesw	p	14	8	2	
J	K26	194	Silex	BP		23	84		1230			10	8	4	
J	K26	195	Quars	BPF		25	86		1232	nwse	ne	23	15	15	Remonta amb nº 190
J	K26	196	Silex	BP		87	79		1215			8	5	1	
J	K26	197	Os	Costella	T.Petita	7	83		1235	ew	p	40	10	10	
J	K26	198	Silex	FBP		43	87		1225	nesw	sw	20	8	5	
J	K26	199	Silex	FBP		65	90		1222			10	6	2	
J	K26	200	Corniana	BP		43	75	1225	1231	ns	n	90	55	32	
J	K26	201	Silex	BP		35	86		1231			25	15	4	
J	K26	202	Silex	BP		62	82		1224			9	7	2	
J	K26	203	Corniana	BN1GC		62	73	1221	1227	q	n	135	135	45	
J	K26	204	Silex	BP		65	90		1226			12	9	3	
J	K26	205	Silex	BP		61	87		1226			25	21	10	
J	K26	206	Silex	BP		47	86		1231	nwse	nw	14	5	2	
J	K26	207	Corniana	BP		30	97		1233	q	p	42	37	8	
J	K26	208	Corniana	BP		74	81		1222	nesw		80	40	5	
J	K26	209	Silex	BP		62	93		1228			25	17	5	
J	K26	210	Silex	BP		41	88		1232	ew	ne	30	17	11	
J	K26	211	Silex	BP		16	92		1241	ew	p	20	14	5	
J	K26	212	Quars	BN1GE		22	92		1238	nesw	sw	92	74	55	
J	K26	213	Corniana	FBP		17	80		1236			18	10	4	

La Cansaladeta, 2006

Niv	Qua	Núm	Material	Categoria	Taxó	X	Y	ZSUP	ZINF	Orien	Pen	Llar	Amp	Gr	Observacions
J	K26	214	Sílex	BP		96	72		1216			8	6	2	
J	K26	215	Sílex	BP		17	93		1239	ew	p	20	10	4	
J	K26	216	Sílex	BP		26	90		1238	q	sw	15	14	3	
J	K26	217	Sílex	BP		28	91		1238	ew	w	12	7	3	
J	K26	218	Corniana	BP		27	92		1239	nesw	sw	16	11	4	
J	K26	219	Os	Llarg	T.Gran	26	94		1240	nesw	sw	75	23	15	
J	K26	220	Sílex	FBP		29	99		1240			11	5	2	
J	K26	221	Sílex	BP		29	76		1235			11	7	2	
J	K26	222	Corniana	Bna		25	87		1241	nwse	nw	40	19	8	
J	K26	223	Sílex	BP		38	92		1235			11	5	2	
J	K26	224	Sílex	FBP		33	89		1236	nwse	nw	18	10	2	
J	K26	225	Sílex	BP		35	83		1234			11	9	3	
J	K26	226	Sílex	BP		40	85		1233			12	10	2	
J	K26	227	Sílex	Fragment		39	82		1232	q	w	20	17	11	
J	K26	228	Sílex	BP		57	83		1230	nwse	nw	25	16	5	
J	K26	229	Sílex	BP		41	97		1234	nesw	sw	18	10	5	
J	K26	230	Corniana	FBP		36	95		1238			18	11	4	Coord. aprox.
J	K26	231	Corniana	FBP		34	93		1238	nesw	nw	23	8	3	
J	K26	232	Sílex	BP		32	84		1239	nesw	ne	16	12	5	
J	K26	233	Sílex	BP		34	86		1238	nwse	n	30	20	4	
J	K26	234	Sílex	FBP		50	82		1232			10	6	1	
J	K26	235	Sílex	BP		43	95		1234			20	19	5	
J	K26	236	Sílex	BP		44	99		1238	q	sw	25	25	6	
J	K26	237	Sílex	Fragment		50	97		1234	q	p	20	20	15	
J	K26	238	Os	Indeterminat	Indet	72	88		1237			15	7	3	
J	K26	239	Corniana	BN2GC		85	89	1221	1224	ew	s	135	105	30	
J	K26	240	Corniana	BP		70	97		1226	nwse	p	25	17	6	
J	K26	241	Sílex	BP		13	93		1240			18	11	3	
J	K26	242	Sílex	FBP		27	90		1244			4	4	1	Coord. aprox.
J	K26	243	Sílex	BP		26	77		1241		wv	20	18	3	
J	K26	244	Sílex	FBP		78	70		1229	q	e	15	15	4	
J	K26	245	Sílex	BP		69	73		1234	nesw	sw	9	5	2	
J	K26	246	Sílex	BN1GE		77	79	1229	1235	ew	p	125	85	55	
J	K26	247	Sílex	FBP		94	87		1230	nwse	se	27	12	4	
J	K26	248	Os	Indeterminat	Indet	43	95		1243			20	11	3	
K	K26	212	Calcària	Bloc		26	95	1242	1248	ew	e	160	95	45	
K	K26	213	Sílex	BP		6	74		1251	nesw	nw	12	7	2	
K	K26	214	Os	Indeterminat	Indet	11	67		1250			8	4	2	
K	K26	215	Sílex	FBP		70	91		1244	ew	w	29	21	5	
K	K26	216	Sílex	BN2GC		40	71		1249	ew	sw	38	32	15	
K	K26	217	Sílex	BP		34	65		1252	q	ne	36	35	12	
K	K26	218	Sílex	BP		10	81		1256	ew	vh	15	12	3	
K	K26	219	Sílex	BP		22	69		1256	nesw	vh	22	12	8	
K	K26	220	Sílex	FBP		26	82		1254	ew	w	30	20	10	
K	K26	221	Sílex	Fragment		64	83		1250	nesw	p	50	43	22	
K	K26	222	Sílex	BP		71	76		1249	ew	ne	26	22	7	
K	K26	223	Sílex	BP		73	70		1247	ew	se	42	25	7	
K	K26	224	Sílex	FBP		76	83		1246	ew	p	22	12	4	

La Cansaladeta, 2006

Niv	Qua	Núm	Material	Categoria	Taxó	X	Y	ZSUP	ZINF	Orien	Pen	Llar	Amp	Gr	Observacions
K	K26	225	Sílex	FBP		45	68		1254			7	3	1	
K	K26	226	Sílex	FBP		50	93		1253			17	11	5	
K	K26	227	Sílex	BP		19	73		1261	ew	p	40	12	3	
K	K26	228	Calcària	Bloc		15	70	1258	1261	ew	w	85	45	35	
K	K26	229	Sílex	FBP		13	72		1261			15	6	3	
K	K26	230	Sílex	FBP		32	82		1258	nesw	vh	40	17	6	
K	K26	231	Sílex	FBP		59	92		1256	q	se	29	28	17	
K	K26	232	Sílex	BN2GC		69	96		1253	nesw	nw	52	31	22	
K	K26	233	Sílex	BP		14	99		1261	nesw	nw	28	25	13	
K	K26	234	Sílex	BP		13	96		1262			13	8	4	
K	K26	235	Sílex	FBP		8	97		1263			14	13	5	
K	K26	236	Quars	Fragment		15	83		1263			21	16	9	Coord. aprox.
K	K26	237	Sílex	BP		72	83		1257	ew	vv	25	25	5	
K	K26	238	Sílex	BP		88	82		1256	nesw	vh	57	36	20	
K	K26	239	Sílex	Fragment		8	88		1265	nesw	sw	30	26	13	
K	K26	240	Sílex	BP		24	70		1266	ew	se	15	12	4	
K	K26	241	Sílex	Fragment		28	72		1265	ew	sw	28	12	6	
K	K26	242	Calcària	Bloc		35	70	1261	1265	nesw	s	70	50	38	
K	K26	243	Calcària	Bloc		50	79	1259	1262	nwse	p	140	90	25	
K	K26	244	Sílex	Fragment		39	66		1266	q	v	20	20	20	
K	K26	245	Sílex	BN2GC		43	67		1265			38	23	16	
K	K26	246	Sílex	BP		64	88		1261			25	8	3	Coord. aprox.
K	K26	247	Sílex	FBP		43	76		1263			11	6	2	
K	K26	248	Calcària	Bloc		10	65	1261	1272	q	sw	170	160	30	
K	K26	249	Calcària	Bloc		17	71	1262	1269	nwse	se	120	50	38	
K	K26	250	Calcària	Bloc		31	90	1260	1266	q	p	130	125	55	
K	K26	251	Calcària	Bloc		41	86	1260	1264	nwse	sw	110	75	35	
K	K26	252	Calcària	Bloc		56	92	1254	1264	nesw	sw	170	155	100	
K	K26	253	Calcària	Bloc		64	79	1259	1265	nwse	nw	190	100	50	
K	K26	254	Calcària	Bloc		29	68	1264	1268	ew	p	105	45	25	
K	K26	255	Sílex	BN1GE		10	70		1271	nwse	se	80	50	42	
L	J26	35	Calcària	Bloc		20	84	1296	1305	ew	sw	210	165	60	
L	J26	36	Calcària	Bloc		30	70	1296	1305	ew	w	155	120	70	
L	J26	37	Calcària	Bloc		68	71	1299	1306	ns	p	230	170	50	
L	J26	38	Calcària	Bloc		48	68	1295	1310	ew	p	220	165	140	
L	J26	39	Calcària	Bloc		30	50	1294	1324	nesw	sw	440	210	140	
L	J26	40	Calcària	Bloc		23	65	1305	1318	nesw	sw	155	105	90	
L	J26	41	Sílex	BP		30	98		1297			12	4	2	
L	J26	42	Os	Llarg	T.Petita	31	86		1303			15	4	1	
L	J26	43	Os	Indeterminat	Indet	45	91		1297			3	2	1	
L	J26	44	Calcària	Bloc		31	72	1303	1308	nesw	p	110	100	52	
L	J26	45	Os	Indeterminat	Indet	14	90		1303			9	5	1	
L	J26	46	Calcària	Bloc		52	89	1295	1302	ns	nw	130	80	45	
L	J26	47	Calcària	Bloc		64	69	1292	1301	nesw	sw	140	80	30	
L	J26	48	Àgata	Fragment		16	82		1305			15	7	4	
L	J26	49	Calcària	Bloc		41	60	1305	1315	ew	w	145	100	35	
L	J26	50	Os	Indeterminat	Indet	18	96		1298			15	5	1	Cremat
L	J26	51	Os	Indeterminat	Indet	14	80		1308			7	6	2	Cremat

La Cansaladeta, 2006

Niv	Qua	Núm	Material	Categoria	Taxó	X	Y	ZSUP	ZINF	Orien	Pen	Llar	Amp	Gr	Observacions
L	J26	52	Os	Indeterminat	indet	28	81		1306			9	5	4	Cremat
L	J26	53	Calcària	Bloc		6	89	1300	1312	ns	w	125	95	80	
L	J26	54	Calcària	Bloc		21	75	1305	1314	ew	w	145	105	60	
L	J26	55	Calcària	Bloc		43	84	1297	1316	ns	se	235	160	20	
L	J26	56	Calcària	Bloc		67	81	1303	1308	ew	sw	165	120	40	
L	J26	57	Calcària	Bloc		11	68	1314	1318	q	p	115	110	25	
L	J26	58	Calcària	Bloc		31	75	1308	1315	nesw	p	200	130	70	
L	J26	59	Calcària	Bloc		25	87	1304	1312	ns	s	150	100	60	
L	K26	37	Sílex	BP		4	75		1273			11	6	3	
L	K26	38	Sílex	BP		21	92		1268			14	7	3	
L	K26	39	Sílex	FBP		18	89		1270			18	15	4	Coord. aprox.
L	K26	40	Sílex	FBP		26	71		1270			29	14	9	
L	K26	41	Sílex	BP		26	77		1270			6	4	1	
L	K26	42	Calcària	Bloc		15	90	1263	1271	ns	p	200	100	56	
M	J24	1	Calcària	Bloc		91	89	1333	1346	nesw	sw	330	230	90	
M	J25	2	Calcària	Bloc		32	88	1320	1328	ns	s	150	90	55	
M	J25	3	Calcària	Bloc		45	87	1320	1329	nwse	se	190	130	65	
M	J25	4	Calcària	Bloc		39	72	1327	1332	ew	w	100	60	25	
M	J25	5	Calcària	Bloc		50	65	1329	1331	q	e	170	140	40	
M	J25	6	Calcària	Bloc		70	85	1320	1326	q	se	120	80	45	
M	J25	7	Calcària	Bloc		83	69	1318	1327	ew	nw	150	90	55	
M	J25	8	Calcària	Bloc		92	83	1311	1316	nwse	sw	125	55	45	
M	J25	9	Calcària	Bloc		70	68	1325	1329	ns	sw	200	55	45	
M	J25	10	Calcària	Bloc		68	92	1321	1330	nesw	se	170	110	55	
M	J25	11	Calcària	Bloc		84	94	1312	1317	nwse	sw	190	95	45	
M	J25	12	Calcària	Bloc		92	93	1309	1317	ns	s	150	110	40	
M	J25	13	Calcària	Bloc		13	89	1326	1329	ew	e	110	75	15	
M	J25	14	Os	Llarg	T.Mitjana	18	94		1332			25	8	4	
M	J25	15	Calcària	Bloc		27	88	1327	1332	q	se	125	95	20	
M	J25	16	Calcària	Bloc		39	86	1328	1335	ns	n	170	95	35	
M	J25	17	Calcària	Bloc		56	87	1326	1335	ew	n	130	85	50	
M	J25	18	Calcària	Bloc		33	100	1328	1334	q	n	130	125	55	
M	J25	19	Os	Indeterminat	indet	33	89		1336			28	15	4	
M	J25	20	Calcària	Bloc		31	75	1330	1344	ns	p	220	160	120	
M	J25	21	Calcària	Bloc		43	69	1332	1341	nesw	sw	150	90	50	
M	J25	22	Calcària	Bloc		51	100	1330	1334	q	nw	90	85	45	
M	J25	23	Os	Llarg	T.Mitjana	62	64		1333			25	10	10	
M	J25	24	Calcària	Bloc		85	55	1331	1345	ns	p	400	270	90	
M	J25	25	Calcària	Bloc		7	95	1330	1343	ns	vh	220	150	120	
M	J25	26	Calcària	Bloc		24	97	1328	1340	ns	se	220	210	80	
M	J25	27	Calcària	Bloc		49	94	1334	1339	ew	s	110	75	25	
M	J25	28	Calcària	Bloc		65	80	1329	1341	q	sw	230	200	100	
M	J25	29	Calcària	Bloc		63	53	1336	1342	ns	s	145	80	50	
M	J25	30	Calcària	Bloc		90	62	1324	1334	ew	p	150	100	70	
M	J25	31	Calcària	Bloc		13	86	1338	1345	q	p	150	150	65	
M	J25	32	Calcària	Bloc		47	68	1337	1343	nwse	p	270	210	50	
M	J25	33	Corniana	Indeterminat		47	60		1347	ns	vh	18	11	7	
M	J25	34	Calcària	Bloc		25	73	1342	1352	ew	p	310	200	60	

La Cansaladeta, 2006

Niv	Qua	Núm	Material	Categoria	Taxó	X	Y	ZSUP	ZINF	Orien	Pen	Liar	Amp	Gr	Observacions
M	J25	35	Calcària	Bloc		46	88	1341	1345	nwse	p	210	140	25	
M	J25	36	Calcària	Bloc		68	69	1339	1345	nesw	p	150	110	35	
M	J25	37	Calcària	Bloc		69	57	1341	1346	nesw	p	150	110	40	
M	J25	38	Calcària	Bloc		81	68	1341	1344	q	se	105	100	20	
M	J25	39	Calcària	Bloc		81	56	1343	1348	q	p	100	90	20	
M	J25	40	Calcària	Bloc		9	92	1345	1350	ew	p	130	100	50	
M	J25	41	Calcària	Bloc		54	73	1341	1348	nwse	w	140	125	40	
M	J25	42	Calcària	Bloc		62	79	1341	1346	nwse	p	125	80	35	
M	J25	43	Calcària	Bloc		73	52	1345	1349	nwse	e	130	105	40	
M	J25	44	Corniana	Bn		89	46	1347	1351	nwse	p	140	110	40	
M	J25	45	Calcària	Bloc		37	84	1347	1351	nwse	p	170	120	25	
M	J26	1	Calcària	Bloc		71	84	1308	1316	q	p	100	100	60	
M	J26	2	Calcària	Bloc		74	72	1311	1320	nesw	sw	145	65	35	
M	J26	3	Calcària	Bloc		58	40	1319	1324	nwse	se	145	100	35	
M	J26	4	Calcària	Bloc		0	52	1316	1328	q	vh	135	130	55	
M	J26	5	Calcària	Bloc		23	40	1313	1324	ns	vh	185	130	35	
M	J26	6	Calcària	Bloc		10	29	1323	1330	ew	p	140	110	50	
M	J26	7	Silex	BP		80	30		1318			21	17	5	Coord. aprox.
M	J26	8	Calcària	Bloc		93	40	1313	1325	ew	vh	115	85	70	
M	J26	9	Calcària	Bloc		40	61	1308	1327	ns	vh	210	110	60	
M	J26	10	Calcària	Bloc		30	54	1317	1329	nwse	vh	125	85	40	
M	J26	11	Calcària	Bloc		7	44	1328	1332	q	e	125	120	25	
M	J26	12	Calcària	Bloc		22	20	1323	1335	q	p	270	260	80	
M	J26	13	Calcària	Bloc		0	35	1330	1342	nwse	p	420	265	105	
M	J26	14	Silex	BP		60	16		1318			20	17	5	Coord. aprox.
M	J26	15	Calcària	Bloc		45	28	1331	1339	nesw	e	135	90	45	
M	J26	16	Calcària	Bloc		25	28	1334	1339	nesw	se	160	105	45	
M	J26	17	Os	Vèrtebra	T.Petita	26	45		1337			10	4	2	Coord. aprox.
M	J26	18	Calcària	Bloc		39	85	1333	1348	ew		245	140	80	
M	J26	19	Calcària	Bloc		50	62	1305	1343	nesw	vh	570	370	120	
M	J26	20	Calcària	Bloc		26	70	1325	1331	ew	w	130	95	45	
M	J26	21	Calcària	Bloc		38	56	1337	1346	ns	se	230	165	65	
M	J26	22	Calcària	Bloc		60	44	1334	1344	ns	vh	260	140	110	
M	J26	23	Calcària	Bloc		43	32	1339	1346	q	w	145	135	105	
M	J26	24	Os	Indeterminat	Indet	3	57		1340			42	12	4	
M	K25	1	Calcària	Bloc		13	92	1307	1310	q	s	100	80	30	
M	K25	2	Calcària	Bloc		12	81	1310	1318	nwse	s	180	100	40	
M	K25	3	Calcària	Bloc		22	57	1314	1319	ew	ne	120	90	40	
M	K25	4	Calcària	Bloc		25	3	1319	1317	q	w	150	130	55	
M	K25	5	Calcària	Bloc		49	0	1312	1321	q	s	180	110	55	
M	K25	6	Calcària	Bloc		54	29	1313	1321	nesw	w	160	110	25	
M	K25	7	Calcària	Bloc		75	10	1314	1321	ns	s	100	65	45	
M	K25	8	Calcària	Bloc		23	79	1314	1317	nwse	s	180	75	35	
M	K25	9	Calcària	Bloc		20	69	1315	1320	q	p	110	110	40	
M	K25	10	Calcària	Bloc		34	47	1307	1326	nesw	sw	310	220	90	
M	K25	11	Calcària	Bloc		9	34	1321	1329	ew	w	155	125	40	
M	K25	12	Calcària	Bloc		84	74	1300	1306	ns	s	90	65	40	
M	K25	13	Calcària	Bloc		72	57	1305	1315	ns	s	150	110	70	

La Cansaladeta, 2006

Niv	Qua	Núm	Material	Categoria	Taxó	X	Y	ZSUP	ZINF	Orien	Pen	Llar	Amp	Gr	Observacions
M	K25	14	Calcària	Bloc		86	55	1305	1311	q	s	70	60	35	
M	K25	15	Calcària	Bloc		42	37	1310	1323	q	p	90	75	30	
M	K25	16	Calcària	Bloc		35	24	1321	1324	nesw	p	160	100	20	
M	K25	17	Calcària	Bloc		18	23	1321	1324	q	s	120	100	35	
M	K25	18	Calcària	Bloc		17	16	1320	1326	nesw	sw	85	60	35	
M	K25	19	Calcària	Bloc		8	6	1322	1328	nesw	sw	140	60	50	
M	K25	20	Calcària	Bloc		22	66	1325	1332	nesw	p	130	80	45	
M	K25	21	Calcària	Bloc		43	69	1305	1323	q	w	340	228	120	
M	K25	22	Calcària	Bloc		23	65	1320	1324	ns	p	130	75	30	
M	K25	23	Calcària	Bloc		24	14	1323	1328	nesw	sw	140	90	20	
M	K25	24	Calcària	Bloc		41	27	1320	1326	nwse	sw	100	45	40	
M	K25	25	Calcària	Bloc		90	80	1314	1319	q	p	110	85	45	
M	K25	26	Calcària	Bloc		70	69	1304	1315	nesw	s	140	120	60	
M	K25	27	Calcària	Bloc		60	60	1312	1317	nesw	ne	135	95	40	
M	K25	28	Calcària	Bloc		63	21	1315	1329	nwse	sw	290	150	100	
M	K25	29	Calcària	Bloc		12	75	1318	1322	q	n	75	70	40	
M	K25	30	Calcària	Bloc		26	68	1321	1326	ns	w	100	80	30	
M	K25	31	Calcària	Bloc		68	65	1306	1314	nesw	n	110	95	65	
M	K25	32	Calcària	Bloc		73	50	1311	1315	ns	e	105	60	30	
M	K25	33	Calcària	Bloc		72	43	1312	1316	q	p	80	60	40	
M	K25	34	Calcària	Bloc		17	30	1323	1331	ns	p	180	100	70	
M	K25	35	Calcària	Bloc		35	10	1322	1331	q	p	260	220	80	
M	K25	36	Calcària	Bloc		50	8	1317	1333	ns	sw	380	190	115	
M	K25	37	Calcària	Bloc		9	65	1319	1326	q	n	100	100	45	
M	K25	38	Calcària	Bloc		22	77	1318	1325	ns	sw	190	45	40	
M	K25	39	Calcària	Bloc		0	8	1327	1334	ns	w	170	125	55	
M	K25	40	Calcària	Bloc		44	68	1320	1327	q	sw	130	90	60	
M	K25	41	Calcària	Bloc		33	40	1327	1334	q	p	150	120	40	
M	K25	42	Calcària	Bloc		0	18	1331	1340	nesw	vh	85	65	45	
M	K25	43	Calcària	Bloc		19	10	1329	1340	nesw	p	220	120	80	
M	K25	44	Calcària	Bloc		19	79	1318	1326	ns	w	150	65	45	
M	K25	45	Calcària	Bloc		33	52	1326	1331	q	nw	130	110	20	
M	K25	46	Calcària	Bloc		25	48	1329	1335	ns	nw	160	70	40	
M	K25	47	Calcària	Bloc		7	44	1329	1339	q	sw	140	140	71	
M	K25	48	Calcària	Bloc		15	32	1331	1342	nesw	sw	250	190	70	
M	K25	49	Calcària	Bloc		34	28	1326	1338	q	sw	170	120	100	
M	K25	50	Calcària	Bloc		40	11	1330	1335	ew	p	135	50	50	
M	K25	51	Calcària	Bloc		0	69	1325	1335	nesw	nw	290	125	100	
M	K25	52	Calcària	Bloc		12	67	1326	1334	nesw	p	290	110	65	
M	K25	53	Calcària	Bloc		15	23	1330	1339	nesw	p	105	90	65	
M	K25	54	Calcària	Bloc		39	54	1327	1331	q	sw	120	120	15	
M	K25	55	Calcària	Bloc		32	47	1332	1341	q	s	150	120	60	
M	K25	56	Calcària	Bloc		27	39	1332	1340	ew	p	170	80	65	
M	K25	57	Calcària	Bloc		39	13	1330	1343	q	e	160	140	40	
M	K25	58	Calcària	Bloc		50	10	1331	1339	nesw	sw	115	75	35	
M	K25	59	Calcària	Bloc		74	10	1327	1337	ew	vh	165	95	65	
M	K25	60	Corniana	Bn		42	50		1335			19	9	4	
M	K25	61	Calcària	Bloc		11	20	1340	1345	nesw	p	145	110	35	

La Cansaladeta, 2006

Niv	Qua	Núm	Material	Categoria	Taxó	X	Y	ZSUP	ZINF	Orien	Pen	Llar	Amp	Gr	Observacions
M	K25	62	Calcària	Bloc		24	14	1339	1347	nwse	p	190	110	80	
M	K25	63	Calcària	Bloc		24	28	1338	1349	ns	s	170	90	50	
M	K25	64	Calcària	Bloc		21	12	1346	1351	ns	se	120	100	40	
M	K25	65	Calcària	Bloc		16	34	1342	1347	nwse	s	140	75	40	
M	K25	66	Calcària	Bloc		10	8	1344	1348	nwse	sw	135	100	40	

La Cansaladeta, 2006

Annex 3: Estudi dels materials **A3**

A3.1.- Indústria lítica

L'excavació efectuada el maig de 2006 al jaciment de la Cansaladeta va proporcionar 687 peces d'indústria lítica (és a dir el 79,4% de tots els elements inventariats, i el 96,6% del material arqueològic). La indústria lítica correspon a cinc nivells arqueològics: D, J, K, L i M.

Al nivell D es van recuperar 535 artefactes, localitzats a 5 quadres diferents: L22, L24, M22, M23 i M24. La matèria primera més utilitzada és el sílex, amb el 81,9% dels efectius. Se segueixen en importància el quars (amb un 7,7%), la corniana (6%) i la quarsita (3,7%). El gres, la lidita, l'esquist i la calcària tenen una representació testimonial (amb una peça cadascuna) (Taula 1). Totes les matèries primeres es poden aconseguir amb relativa facilitat a l'entorn del jaciment. Les terrasses del riu Francolí podrien haver proporcionat la majoria de les roques utilitzades a la Cansaladeta. El sílex també es pot trobar a les formacions del Muschelkalk o a formacions eocenes, mentre que les roques metamòrfiques i el quars es poden obtenir a les formacions del Bundsanstein.

INDÚSTRIA LÍTICA DEL NIVELL D																		
	Bn		BN1GC		BN1GE		BP		FBP		BN2GC		Frag		Indet		Total	
Sílex							221	50,5%	140	32,0%	11	2,5%	37	8,4%	29	6,6%	438	81,9%
Quars				1	2,4%	12	29,3%	16	39,0%				11	26,8%	1	2,4%	41	7,7%
Corniana			1	3,1%		4	12,5%	2	6,3%				2	6,3%	23	71,9%	32	6,0%
Quarsita	1	5,0%				11	55,0%	8	40,0%								20	3,7%
Gres															1	100%	1	0,2%
Lidita								1	100%								1	0,2%
Esquist													1	100%			1	0,2%
Calcària						1	100%										1	0,2%
Total	1	0,2%	1	0,2%	1	0,2%	249	46,5%	167	31,2%	11	2,1%	51	9,5%	54	10,1%	535	

Taula 1: Indústria lítica del nivell D de la Cansaladeta (excavació 2006), en funció de la matèria primera i la categoria estructural

La majoria dels objectes del Nivell D són Bases Positives (46,5%). La segona categoria estructural és la dels fragments de Base Positiva (FBP), amb un 31,2%. La categoria dels fragments compta amb un 9,5%. Un 10% dels objectes són indeterminables, com a conseqüència del seu dolent estat de conservació. Aquesta problemàtica afecta especialment al sílex i a la corniana. La resta de categories estructurals tenen pocs efectius. Concretament hem

localitzat 11 ascles retocades (BN2GC) i solament 1 nucli (BN1GE), 1 còdol tallat (BN1GC) i una Base natural (Bn).

Al nivell J es van recuperar 108 artefactes, localitzats al quadre K26. Solament hi ha tres matèries primeres representades, amb un clar predomini del sílex (81,5%), seguit per la corniana (14,8% i el quars (3,7%). Els productes de talla són els elements més habituals, particularment les Bases Positives (55,6%) (Taula 2). De fet les BP, els FBP i el Fragments sumen el 93% dels efectius. La resta de categories estructurals tenen una representació testimonial. En aquest sentit, és significatiu el fet que solament hem recuperat una BN2GC i dues BN1GE (nuclis).

INDÚSTRIA LÍTICA DEL NIVELL J																	
	Bn		BN1GC		BN1GE		BP		FBP		BN2GC		Frag		Indet	Total	
Sílex					1	1,1%	53	60,2%	20	22,7%			14	15,9%		88	81,5%
Corniana	2	12,5%	2	12,5%			6	37,5%	5	31,3%	1					16	14,8%
Quars					1	25%	1	25%	2	50%						4	3,7%
Total	2	1,9%	2	1,9%	2	1,9%	60	55,6%	27	25%	1	0,9%	14	13%	0	108	

Taula 2: Indústria lítica del nivell J de la Cansaladeta (excavació 2006), en funció de la matèria primera i la categoria estructural

Al nivell K es van recuperar 32 artefactes, localitzats al quadre K26. La matèria primera més utilitzada és el sílex (amb un 96,9%), seguida per la quarsita amb una peça (3,1%). L'anàlisi per categories estructurals mostra una preponderància de les Bases Positives (40,6%). La categoria dels fragments de BP representa el 31,3% de tots els objectes inventariats i el Fragments el 15,6%. Proporcionalment destaca la presència de 3 ascles retocades (9,4%). En aquest nivell hem recuperat també una BN1GE (3,2%) (Taula 3).

INDÚSTRIA LÍTICA DEL NIVELL K																
	Bn		BN1GE		BP		FBP		BN2GC		Frag		Indet		Total	
Sílex			1	3,2%	13	41,9%	10	32,3%	3	9,7%	4	12,9%			31	96,9%
Quars											1	100%			1	3,1%
Total	0	0%	1	3,2%	13	40,6%	10	31,3%	3	9,4%	5	15,6%	0	0%	32	

Taula 3: Indústria lítica del nivell J de la Cansaladeta (excavació 2006), en funció de la matèria primera i la categoria estructural

Al nivell L es van recuperar 7 artefactes, localitzats als quadres J26 i K26. Aquests objectes van ser tallats utilitzant sílex (n=6) i àgata (n=1). Al nivell L hem identificat Bases

Positives (n=4), Fragments de BP (n=2) i Fragments (n=1). Durant aquesta campanya no hem trobat cap nucli ni cap BN2GC en el nivell arqueològic L (Taula 4).

INDÚSTRIA LÍTICA DEL NIVELL L																
	Bn		BN1GE		BP		FBP		BN2GC		Frag		Indet		Total	
Sílex					4	66,7%	2	33,3%							6	85,7%
Agata											1	100%			1	14,3%
Total	0	0%	0	0%	4	57,1%	2	28,6%	0	0%	1	14,3%	0	0%	7	

Taula 4: Indústria lítica del nivell L de la Cansaladeta (excavació 2006), en funció de la matèria primera i la categoria estructural

Al nivell M únicament han estat localitzats 5 artefactes procedents dels quadres J25, J26 i K25. Tres objectes són de corniana i dos de sílex. La classificació per categories estructurals indica la presència de dues Bases naturals i dues Bases Positives, mentre que una peça és indeterminable (Taula 5).

INDÚSTRIA LÍTICA DEL NIVELL M																
	Bn		BN1GE		BP		FBP		BN2GC		Frag		Indet		Total	
Corniana	2	66,7%									0	1	33,3%	3	42,9%	
Sílex					2	100%									2	28,6%
Total	2	40%	0	0%	2	40%	0	0%	0	0%	0	0%	1	20%	7	

Taula 5: Indústria lítica del nivell M de la Cansaladeta (excavació 2006), en funció de la matèria primera i la categoria estructural

En general, la matèria primera més utilitzada als diferents nivells excavats és el sílex (Figura 15). Aquesta roca supera el 80% a tots els nivells, amb excepció del nivell M. No obstant, aquesta dada és poc significativa ja que en aquest nivell solament hem recuperat 5 peces. Al nivell D la segona roca més utilitzada és el quars (amb un 7,7%). Aquesta matèria primera apareix també als nivells J i K, però amb percentatges menors (3,7 i 3,1% respectivament). La corniana és la tercera roca més utilitzada al nivell D (6%) i la segona al nivell J (amb un significatiu 14,8%). D'altra banda, la corniana predomina al nivell M, malgrat que únicament amb 3 efectius. La resta de matèries primeres són poc representatives, a excepció de la quarsita, que compta amb 20 efectius al nivell D (és a dir el 3,7%).

La Cansaladeta 2006
Indústria lítica dels nivells D, J, K, L i M segons matèries primeres

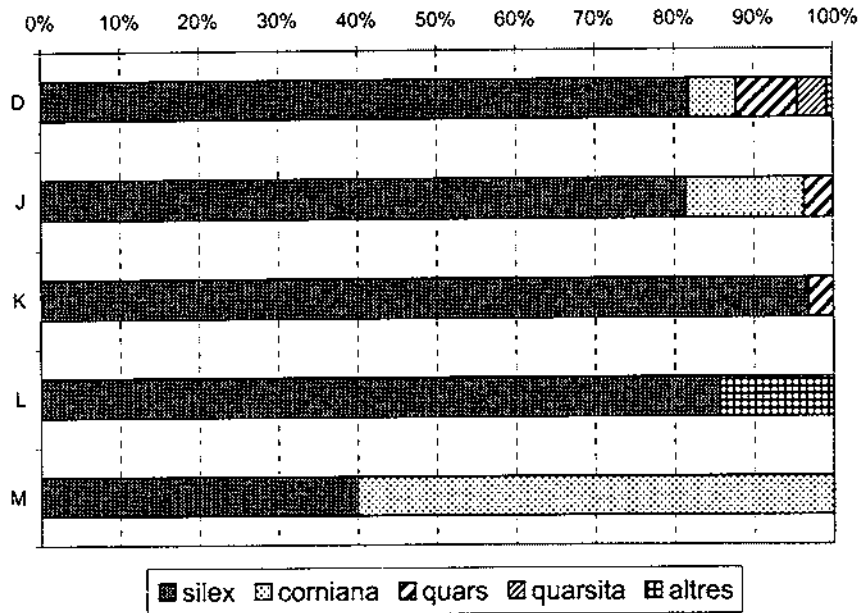


Figura 15:
 Comparació entre
 la representació de
 matèries primeres
 dels nivells excavats
 durant la campanya
 de 2006

La classificació del material lític per categories estructurals indica un clar predomini de les Bases Positives (Figura 16). Als cinc nivells excavats les BP superen el 40%, destacant el percentatge del 55,6% al nivell J. La segona categoria més representada és la dels fragments de Base Positiva (FBP), amb percentatges que es situen entre el 25% i el 31%. El percentatge de

La Cansaladeta 2006
Indústria lítica dels nivells D, J, K, L i M segons cagetories estructurals

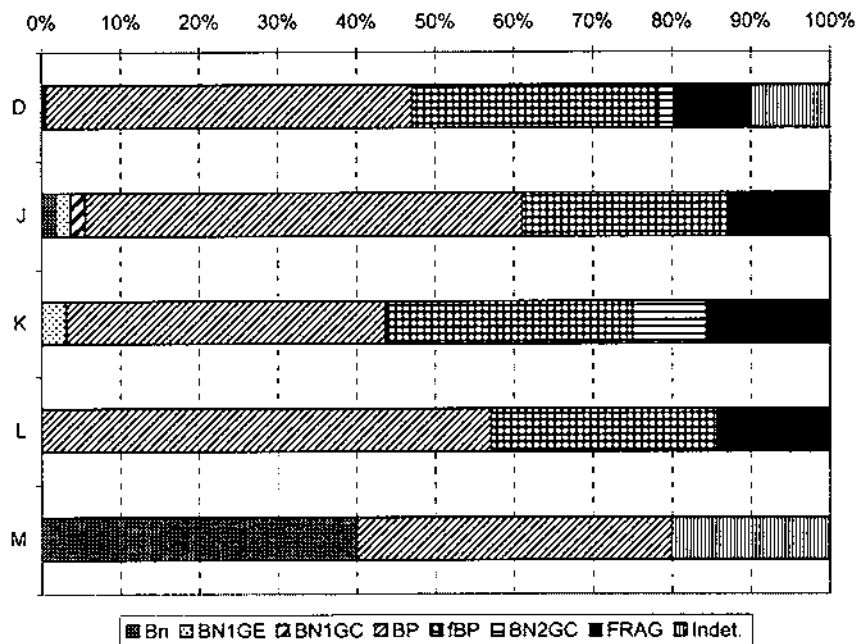


Figura 16: Comparació
 entre la representació
 de categories estruc-
 turals dels nivells
 excavats durant la
 campanya de 2006

Fragments oscil·la al voltant del 9-15%. Les ascles retocades (BN2GC) són molt poc habituals en el registre de la Cansaladeta. Durant la campanya de 2006 solament hem localitzat 15 BN2GC, la majoria procedents del nivell D (n=11). També destaca la presència de 3 BN2GC al nivell K (9,4%). El número de nuclis recuperats és molt poc significatiu: una BN1GE al nivell D, dues al nivell J i una al nivell K. D'altra banda, hem contabilitzat un total de 5 Bases naturals (Bn), repartides entre els nivells D, J i M. És interessant la troballa de tres còdols tallats (BN1GC), configurats utilitzant corniana (una peça procedeix del nivell D i dues del nivell J). Les peces indeterminables a causa de la seva dolenta conservació suposen el 10% del registre del nivell D.

Entre totes les peces lítiques recuperades durant la campanya de 2006 solament sis superen el 100 mm de llargària màxima. D'altra banda, el 60,6% de les Bases Positives tenen una llargària de menys de 20 mm. Aquestes dades indiquen clarament que el format de la indústria lítica és en general reduït.

La Cansaladeta: Indústria lítica 1999-2006

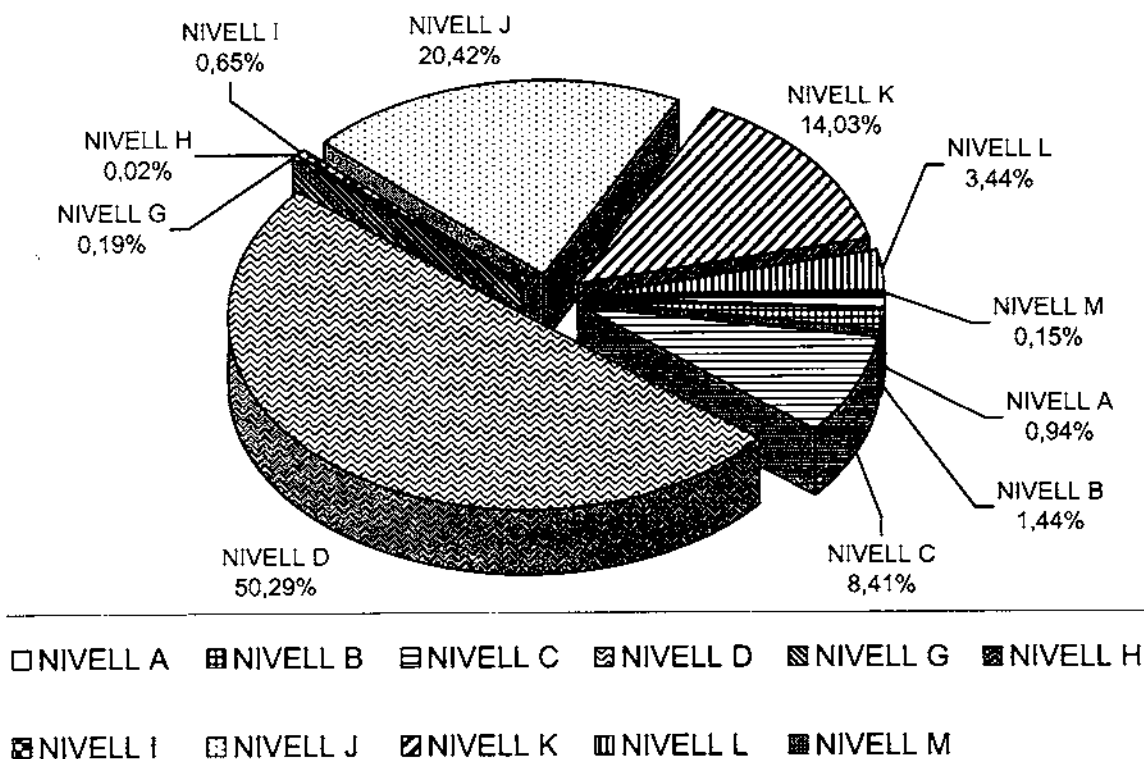


Figura 17: Efectius per nivells arqueològics d'indústria lítica de les campanyes de 1999, 2002, 2003, 2004, 2005 i 2006

Les sis campanyes d'excavació portades a terme a l'abric de la Cansaladeta han proporcionat fins al moment actual 5196 artefactes lítics. El número de peces recuperades és molt significatiu si tenim present el fet que hem excavat una petita part de la superfície total del jaciment. La indústria lítica està repartida en 11 nivells arqueològics. Fins al moment, el nivell que ha proporcionat més restes és el D (amb 2613 peces), seguit pel J (1061), el K (729), i el C (437) (Figura 17). Els nivells amb menys efectius són el H (1 peça), el M (8 peces) i el G (10 peces).

La matèria primera més utilitzada a la Cansaladeta és el sílex, que predomina clarament als nivells amb més material arqueològic. Les categories estructurals amb més efectius són les Bases Positives i els fragments de BP. En general cal destacar la poca representació d'ascles retocades (BN2GC) i nuclis (BN1GE).

A3.2.- Fauna

Durant la campanya d'excavació de 2006 al jaciment de la Cansaladeta s'han recuperat un total de 24 restes faunístiques. Aquestes restes han aparegut repartides en cinc nivells arqueològics: D, J, K, L i M. Al nivell D s'han recuperat 2 restes; al J, 10; al K tan sols 1; 6 restes al nivell L i 5 al nivell M.

Una de les característiques principals de les restes faunístiques que apareixen en aquest jaciment és el seu precari estat de conservació. Les restes de fauna estan molt alterades per processos diagenètics, arribant en molts casos a afectar la integritat dels fòssils i en conseqüència la seva posterior anàlisi. A més, s'han de tenir en compte les reduïdes dimensions d'aquestes restes, ja que el promig no arriba als 3 cm de longitud. Tot això limita considerablement les possibilitats d'identificació de les restes tant a nivell anatòmic com taxonòmic.

Nivell D

Al nivell D han aparegut dues restes òssies. El seu estat de conservació i les seves dimensions tan sols ens permeten establir que són dos fragments d'os llarg d'un animal de talla petita. Un d'aquests fragments està molt alterat per l'acció d'arrels a més d'estar cimentat. L'altra resta presenta una cremació de grau 3.

Nivell I

Nivell J

En aquest nivell ha aparegut el conjunt més nombrós de restes faunístiques (n=10). L'estat de conservació i la fragmentació de les restes no ha permès realitzar una identificació exhaustiva dels fòssils. Hem de dir, però, que s'ha determinat la presència de tres fragments d'ossos llargs i altres tres de costelles. Aquestes restes són d'animals de talla gran (n=1), talla mitjana (n=4) i talla petita (n=1).

En referència a l'estat de conservació de les restes cal destacar l'elevat grau d'alteracions diagenètiques que s'han observat. Les alteracions més freqüents són el cimentament dels ossos amb el sediment (n=6) i la presència de tinció amb òxid de manganès a la cortical òssia (n=6). Altres alteracions identificades són l'acció d'arrels modernes (n=3), un os esquerdat i un altre amb corrosió química.

Nivell K

En el nivell K tan sols s'ha pogut recuperar una resta faunística que no ha estat identificada a cap nivell. La superfície d'aquest os està alterada per pigmentació amb òxid de manganès. Aquesta alteració és molt comú en les restes òssies de la Cansaladeta i es manifesta a través de coloracions negres que poden arribar a ésser homogènies en tota la superfície o presentar-se en forma de taques aïllades o concentrades. La precipitació de manganès està relacionada amb l'acció de bactèries que es desenvolupen en ambients humits i aeròbics.

Nivell L

Les restes òssies recuperades en aquest nivell són 6. El seu elevat grau de fragmentació i el seu estat de conservació no han permès realitzar cap identificació ni a nivell anatòmic ni taxonòmic. Solament s'ha pogut determinar la presència d'un fragment d'os llarg d'un animal de talla molt petita.

Pel que fa a les alteracions identificades destaquen tres restes amb pigmentacions d'òxid de manganès, tres amb signes de cremació i una resta alterada per arrels.

Nivell M

Al nivell M s'han recuperat cinc restes òssies, de les què a nivell anatòmic podem establir la presència d'un fragment de vèrtebra d'un animal de talla molt petita i dos fragments d'ossos llargs d'animals de talla mitjana. La resta d'ossos han estat catalogats com a indeterminats. Finalment, indicar que l'alteració diagenètica més comuna és la corrosió química que afecta a quatre restes. Altres alteracions identificades són arrodoniment ($n=2$) i pigmentació per òxid de manganès ($n=2$).

Annex 4: Fotografies dels materials més significatius

A4



Figura 18: BP de sílex. CAN06, nivell D, M22, nº 431

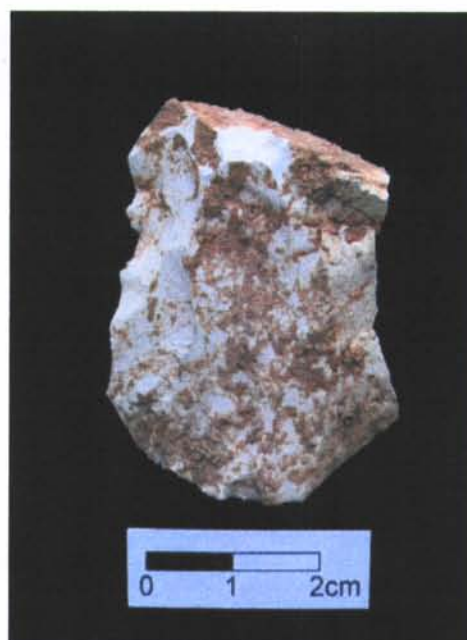


Figura 19: BN2GC de sílex. CAN06, nivell D, M22 nº 430

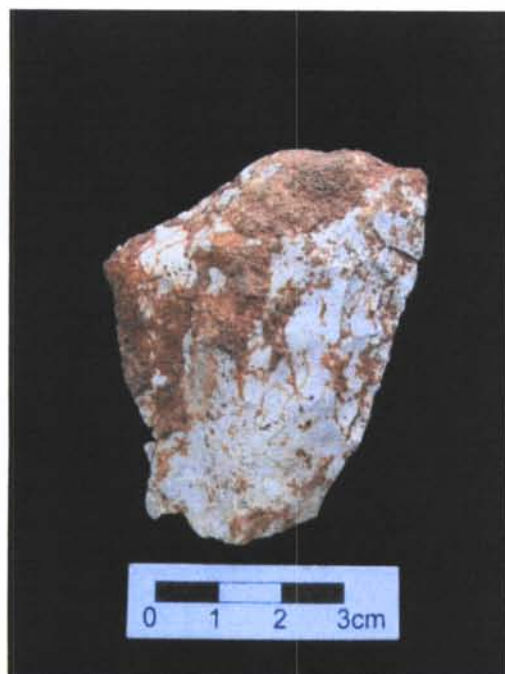


Figura 20: BN2GC de sílex. CAN06, nivell D, M24 nº 298



Figura 21: BP de sílex. CAN06, nivell D, M24 nº 333

La Cansaladeta, 2006



Figura 22: BP de quarsita. CAN06, nivell D, M24 n° 437

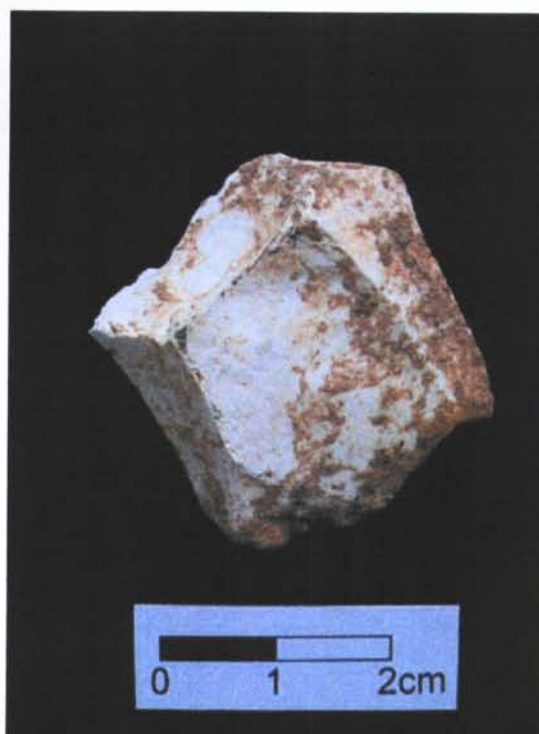


Figura 23: BP de sílex. CAN06, nivell D, M24 n° 449



Figura 24: BN1GC de corniana. CAN06, nivell J, K26 n° 163 (cara superior)



Figura 25: BN1GC de corniana. CAN06, nivell J, K26 n° 163 (cara posterior)



Figura 26: BP de sílex. CAN06, nivell J, K26 n° 189



Figura 27: Bases Positives de quars que remonten: CAN06, nivell J, K26 n° 190 i 195.



Figura 28: BN1GE de quars. CAN06, nivell J, K26 n° 212

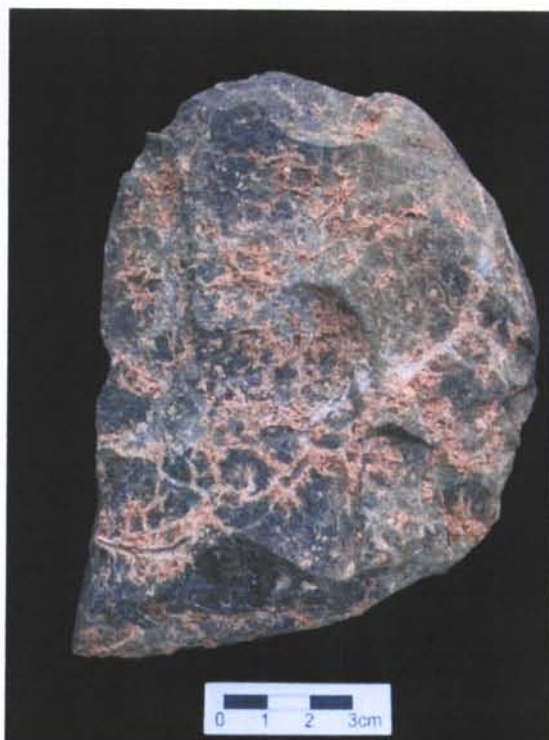


Figura 29: BN2GC de comiana. CAN06, nivell J, K26 n° 239



Figura 30: BN2GC de sílex. CAN06, nivell K, K26 n° 216



Figura 31: BP de sílex. CAN06, nivell K, K26 n° 223

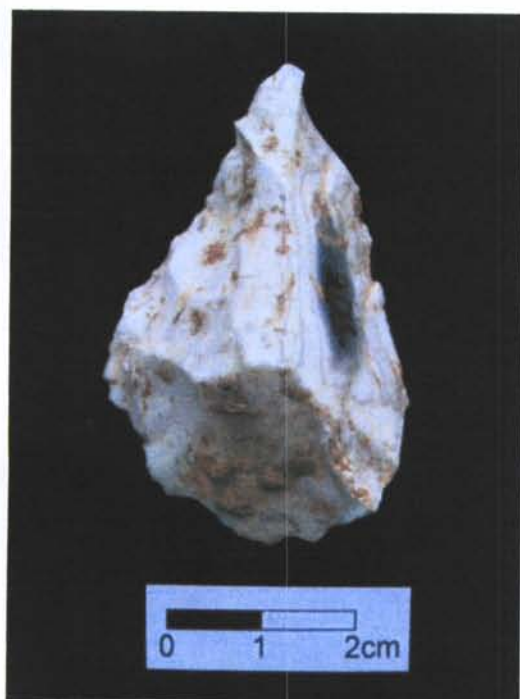


Figura 32: BN2GC de sílex. CAN06, nivell K, K26 n° 232



Figura 33: BN2GC de sílex. CAN06, nivell K, K26 n° 245

Annex 5: Planimetria i plantes **A5**

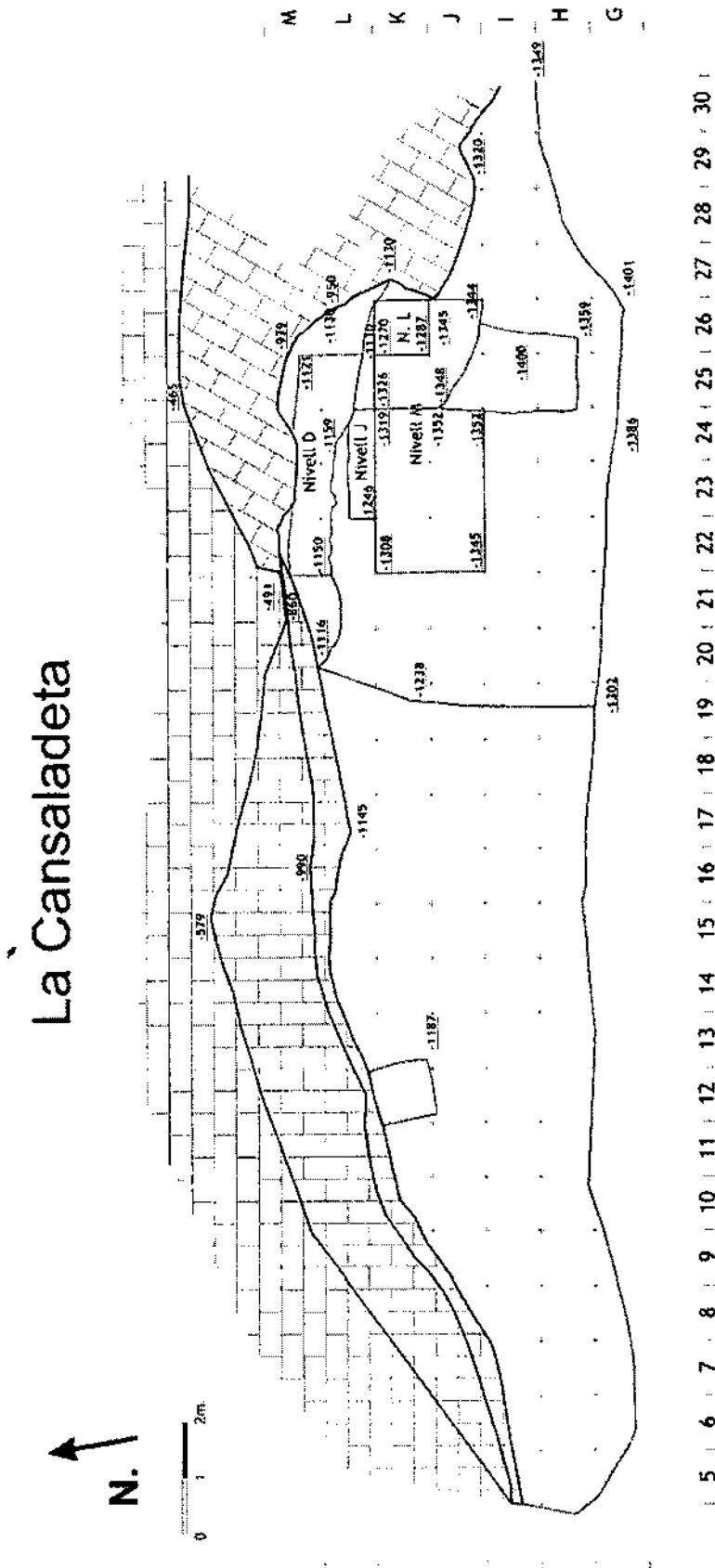


Figura 34: Planta del jaciment de la Cansaladeta, amb cotes referides al nivell 0 de l'excavació de 2006

La Cansaladeta, 2006

Projecció material línia K, Y>50 (1999-2006)



Figura 36: Projecció del material registrat durant totes les campanyes realitzades a la Cansaladeta a la línia de quadres K (amb coordenades Y entre 50 i 100)

Annex 6: Recull de premsa **A6**

20/05/06 **DIARI DE TARRAGONA**
TARRAGONA

Cód 8221239

Premsa: Diaria Document: 1/1
Tirada: 17.157 Exemplars Impressió: Blanc i Negre
Difusió: 15.030 Exemplars Secció:



Página: 8

NUEVA EXCAVACIÓN EN EL YACIMIENTO DE LA CANSALADETA

Arqueólogos de la URV dirigidos por Andreu Ollé participan este mes en una nueva campaña de excavaciones en el yacimiento de La Cansaladeta, localizado en La Riba (Alt Camp). El yacimiento fue localizado hace años como resultado de las obras de ampliación de la carretera. En anteriores campañas se descubrieron las herramientas del neolítico más antiguas localizadas hasta ahora en Catalunya.

La Cansaladeta, 2006

23/05/06

EL PERIODICO DE CATALUNYA (ED. CATALA)
BARCELONA

Prensa: Diària Document: 1/1
Tirada: Sense dades OJD Impressió: Blanc i Negre
Difusió: Sense dades OJD Secció:



Pàgina: 49

Cód 8251803

La Riba tenia homínids fa 500.000 anys

Alt Camp

La Riba • Un equip de l'institut Iphes, de la Universitat Rovira i Virgili, estudia el jaciment de la Cansaladeta, dels pocs jaciments del plistocè mitjà que mantenen els vestigis al lloc d'origen. Han aparegut restes de fauna i diversos estris de sílex. F.G.

La Cansaladeta, 2006

La URV finalitza les excavacions a la Riba

ACN
la riba

Aquest divendres, 26 de maig, l'Institut Català de Paleoecologia Humana i Evolució Social (IPHES) finalitzarà els treballs d'excavació a la Cansaladeta, al terme municipal de la Riba. L'excavació té per objectiu investigar com vivien els homínids fa

500.000 anys. Des que es va intervenir al jaciment per primer cop, el 1999, s'han descobert unes 5.500 restes que demostrèn que va ser un punt de campament habitual per a les comunitats nòmades. L'excavació es va iniciar el 8 de maig, sota la codirecció d'Andreu Ollé i Josep Maria Vergés.

La Cansaladeta, 2006

La zona de la Cansaladeta, a la Riba, va ser lloc de campament de pobles nòmades prehistòrics

Així ho indiquen les més de cinc mil restes que s'hi han trobat a les excavacions

N.B.ACN. La Riba

L'Institut Català de Paleoecologia Humana i Evolució Social (IPHES) finalitzarà aquest divendres la campanya d'excavacions d'enguany a la zona de la Cansaladeta, al terme municipal de la Riba. L'excavació té per objectiu investigar com vivien els homínids fa 500.000 anys. Des que es va intervenir al jaciment per primer cop, l'any 1999, ja s'hi han descobert unes 5.500 restes que demostren que va ser un punt de campament habitual per a les comunitats nòmades de l'època.



+ Josep M. Vergés i Andreu Ollé examinen alguns dels materials trobats al jaciment. Foto: EL PUNT

L'excavació es va iniciar el 8 de maig sota la codirecció d'Andreu Ollé i Josep Maria Vergés. Aquesta excavació forma part del projecte de recerca que desenvolupa l'àrea de Prehistòria de la URV titulat *Evolució paleoambiental i poblament prehistòric a les conques dels rius Francolí i Gaià*. Segons ha explicat Andreu Ollé, la datació del jaciment és del plistocè mitjà i hi ha indicis que assenyalen que podria trobar-se al voltant del mig milió d'anys: «Tenim un indici que es basa en una dent d'*Hystrix*, una espècie de porc espí que es va extingir fa més de 500.000 anys». Tot i això, l'equip considera que parlar de dates és precipitat i que no es podran extreure conclusions contrastades fins a finals d'any.

De moment, el que sí que és evident és el que revelen les 5.500 restes recuperades fins al moment de l'antic abríc situat a la Riba. Moltes són sediments fluvials situats a una cota de 45 metres per sobre del nivell actual del Francolí, la qual cosa demostra que el riu s'ha anat enfonsant amb el pas del temps. El jaciment és molt important perquè és dels pocs d'aquesta antiguitat de la península Ibèrica que s'han mantingut en estratigrafia, és a dir, que presenta

els materials al lloc on ja estaven durant les ocupacions humanes d'aquella època. S'hi han trobat sobretot restes d'indústria lítica, les eines de pedra que s'utilitzaven per caçar, però el més excepcional, segons els excavadors, ha estat la troballa de restes òssies de fauna (cavall, cérvol, rinoceront, conill, peix, etc.), molt difícils de trobar al Camp de Tarragona. El que també és inusual, segons Ollé, és que en un sol jaciment s'ha trobat una seqüència de fins a deu nivells arqueològics, és a dir, deu fases d'ocupació diferenciades al llarg de l'abric. Això evidencia que va ser un espai reiteradament ocupat per pobles de caçadors recol·lectors, que aprofitaven aquest estret de la Riba situat entre la plana litoral i l'interior.

Josep Maria Vergés explica que durant molt de temps aquest punt va servir de campament. Era un hàbitat on els homínids s'aturaven a fabricar les seves eines, caçaven, menjaven i marxaven, i abandonaven totes les restes que milers d'anys després s'estan recuperant. Fins i tot hi ha indicis que feien fogueres, la qual cosa suposaria una de les primeres evidències conegudes de l'ús del foc.

De moment, les excavacions s'han concentrat en un espai d'uns 10 metres quadrats, que és el més exposat a l'erosió, però l'objectiu és ampliar-lo ja que, segons les prospeccions, el jaciment tindria uns 70 metres quadrats. Amb més zona excavada, l'IPHES vol obtenir dades fonamentals per fer una reconstrucció de la manera de viure dels primers pobladors de Catalunya coneguts. El jaciment va ser descobert l'any 1998 i des del 2002 s'hi excava de manera ininterrompuda.



Imatge dels investigadors que fan les anàlisis.

ACN

Els homínids vivien fa 500.000 anys a la Riba

ACN/La Riba
comarques@diaridetarragona.com

Aquest divendres 26 de maig, l'Institut Català de Paleoecologia Humana i Evolució Social (Iphes) finalitzarà els treballs d'excavació a la Cansaladeta, al terme municipal de la Riba.

L'excavació té per objectiu investigar com vivien els homínids fa 500.000 anys. Des que es va intervenir al jaciment per primer cop, l'any 1990, ja s'han descobert unes 6.500 restes, que demostren que va ser un establiment habitual per a les comunitats nòmades.

L'excavació es va iniciar el passat dia 5 de maig, sota la direcció d'Andreu Ollé i Josep

Mari Vergés. Aquesta excavació forma part del projecte de recerca de la URV titulat *Evolució paleoambiental i poblament prehistòric a les conques del Franquet i Gàrdà*.

Segons ha explicat Andreu Ollé a ACN, la datació del jaciment és del pleistocè mitjà, i hi ha indicis que podria trobar-se al voltant del mig milió d'anys.

«Tenim un índex, que es basa en una dent d'hístrix, una espècie de porc espi extingit fa més de 500.000 anys», declara Ollé. Tot i això, l'equip considera que parlar de dates és precipitat, i que no es podran extreure conclusions contrastades fins a finals d'any.

Bibliografia 9

ANGELUCCI, D., GENÉ, J. M^a., OLLÉ, A., VAQUERO, M., VERGÈS, J. M^a., ALLUÉ, E., FONTANALS, M., IBÁÑEZ, N., LOZANO, M., RODRÍGUEZ, X. P., SALADIÉ, P. & J. ZARAGOZA (2003): Darreres intervencions arqueològiques en jaciments paleolítics de la conca del Francolí: La Cansaladeta (La Riba, Alt Camp) i El Molí del Salt (Vimbodí, Conca de Barberà). *Tribuna d'Arqueologia 1999-2000*: 23-63.

ANGELUCCI, D., GENÉ, J.M., OLLÉ, A., RODRÍGUEZ, X.P., VAQUERO, M., VERGÈS, J.M., FONTANALS, M., ALLUÉ, E., CÁCERES, I., GARCÍA, M., IBÁÑEZ, N., LÓPEZ-POLÍN, L., LOZANO, M., SALADIÉ, P., VALLVERDÚ, J. & ZARAGOZA, J. (2004): Evolución Paleambiental y Poblamiento prehistórico en las cuencas de los ríos Francolí y Gaià. *Actas del 1er. Congreso Peninsular de Estudiantes de Prehistoria*, pp. 220-224. Tarragona: Universitat Rovira i Virgili.

ANGELUCCI, D.; CÁCERES, I.; LOZANO, M.; OLLÉ, A.; RODRÍGUEZ, X.P.; VERGÈS, J.M.; (2004): El jaciment de La Cansaladeta (La Riba, Alt Camp) en el marc del Pleistocè Mitjà català. *Cypsela* 15: 151-170.

Institut Cartogràfic de Catalunya. *Mapa Topogràfic de Catalunya 1:5.000*. Full 446-1-1. La Riba

OLLÉ, A.; VERGÈS, J.M.; RODRÍGUEZ, X.P. (2004): El jaciment de La Cansaladeta (La Riba, Alt Camp): primers resultats. *Quaderns de Vilaniu* 45: 127-144.